

JAERI-M-93-031

JP9305149

J A E R I - M  
93-031

溶液燃料の臨界パラメータに対する  
密度式の影響評価

1993年3月

三好 慶典・広瀬 秀幸・阿見 則男・桜井 啓

JAERI Mレポートは、日本原子力研究所が不定期に公刊している研究報告書です。  
入手の問合せは、日本原子力研究所技術情報部情報資料課 〒319-11 茨城県那珂郡東海村 あて、  
お申しこみください。なお、このほかに財團法人原子力広報会資料セミナー 〒319-11 茨城県那珂郡  
東海村日本原子力研究所にて複写による実費領布をおこなっております。

JAERI M reports are issued irregularly.

Inquiries about availability of the reports should be addressed to Information Division Department  
of Technical Information, Japan Atomic Energy Research Institute, Tokaimura, Naka gun, Ibaraki  
ken 319-11, Japan.

© Japan Atomic Energy Research Institute, 1993

編集兼発行 日本原子力研究所  
印 刷 ニッセイエプロ株式会社

溶液燃料の臨界パラメータに対する密度式の影響評価

日本原子力研究所東海研究所燃料安全工学部

三好 廉典・広瀬 秀幸・阿見 則男

桜井 啓

(1993年1月28日受理)

硝酸ウラニル、硝酸ブルトニウム等の溶液燃料に対して新たに提案された溶液密度式(SST式)を用いて、中性子無限増倍率、臨界バックリング等基本的な臨界パラメータの解析を行った。ここでは、Burger の式及び Maimoni の式に基づく従来の密度式を用いた場合と比較することにより、硝酸水溶液系の溶液密度式が臨界計算へ与える影響について評価した。

**Evaluation of Effect of Solution-density  
Formula on Criticality Parameters**

**Yoshinori MIYOSHI, Hideyuki HIROSE, Norio AMI  
and Satoshi SAKURAI**

**Department of Fuel Safety Research  
Tokai Research Establishment  
Japan Atomic Energy Research Institute  
Tokai-mura, Naka-gun, Ibaraki-ken**

**(Received January 28, 1993)**

Calculations of the criticality parameters have been performed for solution fuels such as uranyl nitrate, plutonium nitrate and their mixture by use of a newly proposed formula (SST formula) of the solution density. By comparison of the calculated infinitive multiplication factor and critical buckling using SST formula with those by the present formula based on Maimoni's and Burger's, the effect of the density formula for nitrate solution on the criticality calculation were studied.

**Keywords:** Nuclear Criticality, Formula for Solution Density,  
Criticality Parameters, Infinite Multiplication Factor,  
Critical Buckling, Uranium, Plutonium, Nitrate Solution,  
Acid Molarity

## 目 次

1. 序 論 .....	1
2. 計算方法 .....	1
2.1 密度式 .....	1
2.2 臨界計算 .....	2
3. 計算結果 .....	3
3.1 硝酸ウラニル水溶液 .....	3
3.2 硝酸プルトニウム水溶液 .....	3
3.3 硝酸ウラニル・硝酸プルトニウム混合水溶液 .....	4
4. 結 び .....	5
参考文献 .....	6

## Contents

1. Introduction .....	1
2. Calculation Method .....	1
2.1 Formula for Solution Density .....	1
2.2 Criticality Calculation .....	2
3. Calculation Results .....	3
3.1 Uranyl Nitrate .....	3
3.2 Plutonium Nitrate .....	3
3.3 Mixture of Uranyl Nitrate and Plutonium Nitrate .....	4
4. Conclusive Remarks .....	5
References .....	6

## 1. 序 論

ウラン及びアルトニウムを含む硝酸溶液燃料の臨界計算を行う場合、溶液中のウラン・ブルトニウム濃度、硝酸濃度、及び温度から溶液燃料の密度を求め、構成核種の原子個数密度を計算する必要がある。ここで用いる溶液の密度式としては、これまで、硝酸ウラニル水溶液、及び硝酸ブルトニウム水溶液については、Burger の式及び Maimoni の式<sup>1), 2)</sup>が各自用いられている。また、U/Pu 混合水溶液については両密度式を併用した式（LMT 式）が提案され<sup>3)</sup> 臨界ハンドブックに記載されている。また、硝酸水溶液系燃料に関する基本的な臨界パラメータの検討結果についてはいくつかの報告がなされている<sup>4)</sup>。しかし、その後溶液密度に関する新たな測定値を考慮した密度式（SST 式）が原研で提案されその有効性が評価されている<sup>5)</sup>。従って、本報では、溶液燃料体系の臨界安全設計評価の基礎的なデータとして、臨界計算において従来用いられている LMT 式と新たに提案された SST 式を用いて、中性子無限倍増率及び臨界バックリング等の臨界パラメータの評価を行い、臨界安全評価に対する密度式の影響を検討した。

## 2. 計 算 方 法

### 2.1 密 度 式

#### (1) 現密度式（LMT 式）

$$\rho = R_u \cdot \rho_{u-pu} + R_{pu} \cdot \rho_{pu-u} - R_u \cdot C_{pu} (1.50 \times 10^{-3} / C_N - 3.05 \times 10^{-4}) \quad (2.1.1)$$

ここで、

$$R_u = C_u / (C_u + C_{pu})$$

$$R_{pu} = C_{pu} / (C_u + C_{pu})$$

$C_u$  : 溶液中のウラン濃度(g/l)

$C_{pu}$  : 溶液中のブルトニウム濃度(g/l)

$C_N$  : 溶液中の全硝酸イオン濃度(mol/l)

$\rho_{u-pu}$ : 溶液中のウランとブルトニウムを全てウランとし、次の Burger の式から  
計算される密度

$$\rho_{25} = 1.0171 + 1.2944 \times 10^{-3} \times C_u + 0.0289 \times C_{HN} \quad (2.1.2)$$

$$\rho = 1.0125 \times \rho_{25} + 1.45 \times 10^{-4} \times T - 5.0 \times 10^{-4} \times \rho_{25} \times T - 3.6 \times 10^{-3} \quad (2.1.3)$$

$\rho_{\text{pu-v}}$  : 溶液中のウランとプルトニウムを全てプルトニウムとし、次のMaimoniの式から計算される密度

$$\begin{aligned}\rho = & 0.99708 + 1.65625 \times 10^{-3} \times C_{\text{Pu}} + 3.2959 \times 10^{-2} \times C_{\text{HN}} \\ & - 5.9915 \times 10^{-4} \times (T - 25) - 4.8706 \times 10^{-5} \times C_{\text{Pu}} \times C_{\text{HN}} \\ & - 1.4217 \times 10^{-6} \times C_{\text{Pu}} \times (T - 25) - 3.418 \times 10^{-8} \times C_{\text{Pu}}^2\end{aligned}\quad (2.1.4)$$

## (2) 新密度式 (SST式)

$$\begin{aligned}\rho = & 0.99833 + 1.6903 \times 10^{-3} \times C_{\text{Pu}} + 1.4276 \times 10^{-3} \times C_u \\ & + 3.9956 \times 10^{-2} \times C_{\text{HN}} - 8.696 \times 10^{-8} \times C_{\text{Pu}}^2 - 1.087 \times 10^{-7} \times C_u^2 \\ & - 8.513 \times 10^{-4} \times C_{\text{HN}}^2 - 5.442 \times 10^{-6} \times T^2 - 4.4889 \times 10^{-5} \times C_{\text{Pu}} \times C_{\text{HN}} \\ & - 1.310 \times 10^{-6} \times C_{\text{Pu}} \times T - 1.564 \times 10^{-5} \times C_u \times C_{\text{HN}} \\ & - 9.487 \times 10^{-7} \times C_u \times T - 8.684 \times 10^{-6} \times C_{\text{HN}} \times T\end{aligned}\quad (2.1.5)$$

ここで、

$C_{\text{HN}}$  : 溶液中の硝酸濃度 (mol/l)

T : 温度 (°C)

## 2.2 臨界計算

硝酸ウラニル水溶液、硝酸フルトニウム水溶液、及び硝酸ウラニル・硝酸フルトニウム混合水溶液に対して、臨界性を検討する際の基本的なパラメータである中性子無限倍率  $K_\infty$ 、及び臨界バックリング  $Bc^2$  を評価した。硝酸ウラニルまたは硝酸フルトニウムのように燃料核種が一つの溶液燃料に関しては、燃料濃度に対する基本パラメータの変化を検討し、混合水溶液燃料に関しては、主にフルトニウム富化度を変化させて計算を行った。また、臨界安全設計では、燃料取扱設備の工程において溶液燃料の硝酸濃度を担保条件としない場合、溶液燃料の硝酸濃度  $C_{\text{HN}}$  が 0 mol/l であることを安全側の仮定として用いる。従って典型的なケースについて、水反射体のある球体系の臨界直徑を臨界バックリングから評価し、有限体系の寸法制限値等への影響を検討した。

### (1) 計算コード

中性子無限倍率  $K_\infty$  及び臨界バックリング  $Bc^2$  の算出には、詳細計算コード JACS システム<sup>6)</sup>による群定数を用いて 1 点近似の中性子減速方程式を解く SIMCRI を使用した<sup>7)</sup>。

計算コード : SIMCRI

中性子群定数 : MGCL-137 群

核データファイル : ENDF/B-IV

また、水反射体付球体系の臨界半径  $R_c$  は、臨界バックリング  $Bc^2$  から (2.3.1) 式を用いて計算した。ここでは、両密度式により求まる臨界バックリングが、簡易評価法等において有限体系の臨界寸法にどの程度影響するかを調べる事が目的であるので、(2.3.1) 式の外挿距離  $\lambda$  としては標準的な値である 6.5 cm を用いた。

$$R_c = \pi / (Bc^2)^{1/2} - \lambda \quad (2.3.1)$$

また、新密度式及び現密度式を各々用いた臨界半径の差 $\Delta R_c$ は、次式で与えられる。

$$\Delta R_c = \frac{\pi / (Bc^2)^{1/2}}{2 \{ \pi / (Bc^2)^{1/2} - \lambda \}} \cdot \frac{\Delta Bc^2}{Bc^2} R_c \quad (2.3.2)$$

## (2) 燃料条件

計算の対象とした燃料条件を表 2.3.1 に示す。

# 3. 計 算 結 果

## 3.1 硝酸ウラニル水溶液

硝酸ウラニル水溶液の溶液密度、原子個数比(H/Fissile)、中性子無限増倍率、臨界バックリングを表 3.1.1 及び図 3.1.1 から図 3.1.5 に示す。

溶液密度は、臨界安全設計で多く用いられる  $C_{\text{nw}}$  が 0 mol/l の条件では、ウラン濃度が 300 g/l より低い範囲では現密度式が、またそれ以上の濃度では新密度式の方が高く評価している(図 3.1.1)。密度が高いと溶液中の水( $H_2O$ )の重量比が増加するので、原子個数比(H/Fissile)は増加する傾向を示す(図 3.1.2)。

今回計算した濃度範囲は、低濃縮ウラン硝酸ウラニル水溶液の最適減速濃度よりも低く過減速であるので、溶液密度が高い場合に中性子無限増倍率は低くなっている。また、硝酸ウラニル溶液(濃縮度 6%)では、最適濃度以下の範囲で中性子無限増倍率はウラン濃度と共に単調に増加し、250g/l より高い濃度範囲で臨界となり、それ以下では未臨界である(図 3.1.3)。表 3.1.1 から分るように臨界の可能性がある濃度範囲においては、新密度式と現密度式による中性子無限増倍率の相違は 0.1% 程度であり有意な差は認められない。

硝酸濃度が高くなると中性子無限増倍率は減少し、1 mol/l あたり約 1% 減少する。硝酸濃度が 6 mol/l の場合、ウラン濃度が高い範囲で新密度式による中性子無限増倍率が約 0.3% 大きくなっているが、燃料条件として溶解度を超えた範囲である。また、臨界設計で硝酸濃度を 0 mol/l として解析する限り問題とはならないと考えられる。尚、臨界になる 300 g/l 以上の濃度において、両密度式による臨界バックリングの相対誤差( $\Delta Bc^2 / Bc^2$ )は 1% 以下であり、臨界半径に有意な違いは認められない(図 3.1.4, 図 3.1.5)。

## 3.2 硝酸フルトニウム水溶液

硝酸フルトニウム水溶液の溶液密度、原子個数比、中性子無限増倍率、及び臨界バッククリングを表 3.2.1 に示す。

溶液密度について両密度式を比較すると、硝酸濃度が 0 mol/l 及び 6 mol/l の場合、新密度式は現密度式に比べて溶液密度を低く評価し、また 3 mol/l の場合は高く評価している。しかし、いずれの場合も両者による密度の差はわずかであり（約 0.3 %以下）硝酸濃度に対する依存性は小さい（図 3.2.1）。現行の Maimoni による密度式の基礎となっている溶液密度の測定値は、硝酸濃度が 3 mol/l 近傍であるので硝酸のない 0 mol/l あるいは 6 mol/l に対して、現密度式による値の信頼度は新密度式に比べて低いと考えられる。

原子個数比に関しては、原子個数密度の算出手順を考えると硝酸ウラニル水溶液と同様に、溶液密度が高いほど原子個数比は高くなる関係にある（図 3.2.2）。

今回計算したプルトニウムの組成は  $^{239}\text{Pu}$  が 80 %、 $^{240}\text{Pu}$  が 20 %であり、中性子無限倍率は  $^{239}\text{Pu}$  100 %の場合と異なり約 120 g/l 附近に極値が現れている。従って、原子個数比の大小と中性子無限倍率との関係は硝酸ウラニル水溶液の場合のように単純ではない。しかし、今回解析の対象とした 500 g/l 以下の濃度範囲において、中性子無限倍率の密度式による差は、-0.2 %から +0.2 %の範囲である（図 3.2.3）。解析範囲は、硝酸濃度が約 3 mol/l の条件で常温の溶解度の範囲と考えられるが、プルトニウム濃度に対する中性子無限倍率特性に関して、両密度式の間に問題となるような系統的な差は現れていないと考えられる。

臨界パックリングの相対誤差は、高濃度の 500 g/l の時に最大 3.2 %であるが、臨界パックリングが最大（臨界半径が最小）となる 120 g/l 付近の濃度における相対誤差は、1 %以下である。また、硝酸濃度が 0 mol/l の場合において、臨界半径は最大濃度（500 g/l）で最も大きい相対誤差を示したが、（2.3.2）式によりパックリングの相対誤差 ( $\Delta B_c^2 / B_c^2$ ) の約 1/2 となり 2.2 %である。臨界安全設計において濃度制限を行わない条件での最小臨界直径は、現行の密度式及び新密度式のいずれの場合も 21.4 cm と一致している（図 3.2.4、図 3.2.5）。

### 3.3 硝酸ウラニル・硝酸プルトニウム混合水溶液

ウラン・フルトニウム混合硝酸水溶液の溶液密度、原子個数比、中性子無限倍率、及び臨界パックリングを表 3.3.1 から表 3.3.7 に示す。

混合硝酸水溶液に関しては、臨界パラメータの濃度依存性及び富化度依存性を評価した。プルトニウム富化度が 10 %、30 %、50 % 及び 80 % の混合硝酸溶液に関して、燃料濃度に対する溶液密度及び原子個数比の変化を図 3.3.1 から図 3.3.8 に示す。また、硝酸の無い 0 mol/l の溶液については、富化度が 30 %、50 % 及び 80 % の場合、新密度式による溶液密度の方が現密度式に比べて高めの評価をしている。但し富化度が低い 10 % の場合には、ウラン系燃料の傾向が現れ、新密度式は低い濃度範囲で溶液密度を低めに評価し、高濃度範囲では逆に高めに評価している。（図 3.3.1）

硝酸濃度が 6 mol/l の溶液において特に高い濃度範囲で有意な差が現れているが、これは、現密度式の基礎データが 300 g/l 以下の範囲に限られ、硝酸濃度として 1 mol/l 以下及び 5 mol/l 以上のデータが欠落しているためであると考えられる。従って、両密度式による溶液密度は、硝酸濃度が  $1 < C_{\text{HN}} < 4.8$  で、燃料濃度が、300 g/l 附近で比較的良好い一致が認められる。

燃料濃度が 100 g/l、300 g/l 及び 500 g/l の場合について、富化度に対する溶液密度の変

化を図3.3.9から図3.3.14に示す。図3.3.9、図3.3.11、図3.3.13から分るように、プルトニウム富化度に対する溶液密度の変化は、新密度式では燃料濃度が同一のウラン溶液及びフルトニウム溶液の密度を上限値または下限値として、単調に変化している。一方現密度式では、硝酸濃度が低い場合には極小値を、硝酸濃度が高い場合には極大値を示している。混合溶液の密度特性としては、新密度式の信頼性が高いと考えられ、ウラン・フルトニウム混合系についてより信頼度の高い計算結果を要求する場合には、新密度式を用いるのが合理的であると考えられる。これは、密度式のベースとなる測定値が、現密度式の場合には富化度30%の燃料に限定されているのに対して、新密度式では、富化度に関して広い範囲のデータを使用しているからである。

臨界計算への影響を調べるために、各種の制限値を設定する際に採用されている硝酸濃度0 mol/lの溶液燃料についてみると、中性子無限倍率における両者の差（新密度式-現密度式）は臨界になる濃度範囲で-0.6%から+0.2%の範囲であった。フルトニウム富化度により違いはあるか、低い濃度範囲において新密度式の方が現密度式に比べて小さい中性子無限倍率を与えていた（図3.3.15～図3.3.17）。しかし、これは現密度式がより厳しい中性子倍率を与えていたことを意味し、中性子倍率により未臨界判定を行う体系については、現行の式は安全側の評価になっている事を意味する。また、一定の推定臨界下限中性子倍率に対応する制限値の設定に対しては、より厳しい結果（寸法制限の場合にはより小さい値）を与えていていることになる。中性子無限倍率における両者の差（新密度式-現密度式）が正のケースもあるが値としては0.2%であり、臨界安全評価に用いるモンテカルロコードの分散を考慮すると、有意な差とする必要はないと考えられる。

遊離濃度0 mol/lの溶液燃料の臨界パックリングを比較すると、図3.3.18に示すように、新密度式の方が現密度式に比べて、広い範囲で大きめの評価となり安全側である。ここでの両者の相対誤差は-3%から+3%の範囲にある。従って、球体系の臨界半径の相対誤差は2%以下であり制限寸法値の評価において問題はないと考えられる（図3.3.18～図3.3.20）。

#### 4. 結　　び

硝酸ウラニル及び硝酸フルトニウムを含む水溶液燃料について、臨界計算に用いる溶液密度式として現密度式（LMT式）と新密度式（SST式）の2種類を選び、臨界パラメータへの影響を検討した。

溶液密度の評価式としては、新たに提案された式がより高い信頼性を有しており、特に硝酸ウラニル・硝酸フルトニウム混合水溶液において合理的な結果を与えていた。従って、溶液密度の計算においては、新密度式を用いることが望ましいと考えられる。しかし、無限円筒体系の臨界直径、無限平板体系の臨界厚さ、あるいは臨界制限直径及び臨界制限厚さ等の寸法評価においても、今回行った球体系の臨界半径への影響評価と同様に、現行の密度式による制限値に対して、新密度式の採用により有意な変化は無いと考えられる。

従って、臨界安全設計に対する影響という観点からは、中性子無限倍率等の基本定数及び

推定臨界下限増倍率あるいは推定臨界下限値等を早急に見直す必要性は高くないと考えられる。今回の解析で、モンテカルロ法による中性子実効増倍率の直接的な比較は行わず、臨界性の支配的な因子である中性子無限増倍率及び臨界バックリングにより評価したのは、密度式による影響を系統的に把握することに重点をおいたためである。

## 参 考 文 献

- (1) Maimoni, UCRL-52727 (1979)
- (2) Burger L. L., Rehn I. M., Schmidt H. R., and Slansky C. M., HW-11276 (1949)
- (3) 館盛勝一, 阿見則男, 三好慶典, "ウラン, プルトニウム溶液系の臨界計算・I (溶液密度と原子個数密度の考察)", JAERI-M 83-047 (1983).
- (4) 三好慶典, 阿見則男, 館盛勝一, "ウラン-プルトニウム溶液系の臨界計算・II (硝酸溶液系の基本臨界パラメータの検討)", JAERI-M 84-219 (1984).
- (5) 桜井聰, 館盛勝一: プルトニウム(IV)-ウラン(VI) - 硝酸水溶液系の密度式の改良  
JAERI-M 88-127 (1988).
- (6) Y. NAITO, S. TSURUTA, T. MATSUMURA, T. OHUCHI, "MGCL-PROCESSOR: A Computer Code System for Processing Multipgroup Constants Library MGCL", JAERI-M 9396 (1981)
- (7) S. NAKAMARU, N. SUGAWARA, Y. NAITO, J. KATAKURA and H. OKUNO, "SIMCRI: A SIMPLE COMPUTER CODE FOR CALCULATING NUCLEAR CRITICALITY PARAMETERS", JAERI-M 86-027 (1986).

表2.3.1 燃 料 条 件

種類	燃料濃度 (g/l)	硝酸濃度 (mol/l)	富化度 (%)	温度 (°C)
硝酸ウラニル水溶液 ( $^{235}\text{U}$ 6%)	50-500	0,3,6	---	25
硝酸プルトニウム水溶液 $^{239}\text{Pu}$ (80%)+ $^{240}\text{Pu}$ (20%)	10-500	0,3,6	---	25
硝酸ウラニル・硝酸プルトニウム混合水溶液 (Pu+ 天然ウラン) $^{239}\text{Pu}$ (80%)+ $^{240}\text{Pu}$ (20%)	10-500	0,3,6	10-90 (100, 300, 500 g/l)	25

表 3.1.1 硝酸溶液燃料の臨界計算に対する密度式の効果  
(硝酸ウラニル溶液: 濃縮度 6 %)

燃料濃度 (g/l)	酸性度 (mol/l)	溶液密度 $\rho$ (g/cc)		原子個数比(H/Fissile)		無限倍増率 $K_\infty$			臨界 Buckling $B_c^2$ (cm <sup>-2</sup> )	
		新密度式	現密度式	新密度式	現密度式	新密度式	現密度式	新-現(%)	新密度式	現密度式
60.0	0	1.0849	1.0820	8642.2	8690.9	0.374	0.369	0.5	---	---
		1.1342	1.1469	4212.9	4267.8	0.816	0.810	0.5	---	---
		1.2031	1.2118	2768.2	2793.1	0.782	0.778	0.4	---	---
		1.2714	1.2766	2044.7	2055.9	0.904	0.901	0.3	---	---
		1.3391	1.3415	1809.8	1813.8	0.996	0.995	0.1	---	---
		1.4063	1.4084	1318.8*	1318.7	1.088	1.088	0.0	$2.001 \times 10^{-3}$	$2.009 \times 10^{-3}$
		1.4730*	1.4713	1110.4*	1108.1	1.125	1.128	-0.1	$3.706 \times 10^{-3}$	$3.705 \times 10^{-3}$
		1.5391*	1.5382	953.5*	950.2	1.172	1.173	-0.1	$5.080 \times 10^{-3}$	$5.059 \times 10^{-3}$
		1.6047*	1.6011	830.9*	827.3	1.210	1.211	-0.1	$8.132 \times 10^{-3}$	$8.118 \times 10^{-3}$
		1.6697*	1.6681	732.4*	729.0	1.241	1.242	-0.1	$8.988 \times 10^{-3}$	$8.983 \times 10^{-3}$
60.0	3	1.1682	1.1888	8031.9	8037.3	0.346	0.346	0.0	---	---
		1.2352*	1.2337	3947.5*	3940.8	0.577	0.577	0.0	---	---
		1.3017*	1.2986	2564.5*	2575.3	0.740	0.741	-0.1	---	---
		1.3677*	1.3835	1901.8*	1892.8	0.861	0.862	-0.1	---	---
		1.4331*	1.4284	1491.2*	1482.9	0.964	0.955	-0.1	---	---
		1.4979*	1.4933	1216.7*	1209.8	1.027	1.029	-0.2	$7.483 \times 10^{-4}$	$7.658 \times 10^{-4}$
		1.5622*	1.5582	1020.0*	1014.8	1.088	1.087	-0.1	$2.366 \times 10^{-3}$	$2.382 \times 10^{-3}$
		1.6280*	1.8231	871.8*	868.5	1.133	1.134	-0.1	$3.847 \times 10^{-3}$	$3.648 \times 10^{-3}$
		1.6892*	1.6880	766.1*	764.7	1.173	1.173	0.0	$4.856 \times 10^{-3}$	$4.662 \times 10^{-3}$
		1.7519	1.7529	683.0	683.7	1.205	1.205	0.0	$5.435 \times 10^{-3}$	$5.446 \times 10^{-3}$
60.0	6	1.2562*	1.2557	7386.3*	7383.7	0.325	0.326	-0.1	---	---
		1.3209*	1.3206	3615.5*	3614.0	0.547	0.547	0.0	---	---
		1.3851	1.3855	2368.3	2357.4	0.706	0.706	0.0	---	---
		1.4487	1.4504	1725.8	1729.2	0.826	0.826	0.0	---	---
		1.5117	1.5153	1346.2	1352.2	0.918	0.918	0.1	---	---
		1.5742	1.5802	1092.4	1100.8	0.992	0.991	0.1	---	---
		1.6362	1.6451	910.5	921.4	1.052	1.049	0.3	$1.278 \times 10^{-3}$	$1.240 \times 10^{-3}$
		1.6976	1.7100	773.5	786.8	1.100	1.097	0.3	$2.422 \times 10^{-3}$	$2.408 \times 10^{-3}$
		1.7585	1.7749	686.4	682.1	1.139	1.136	0.3	$3.322 \times 10^{-3}$	$3.350 \times 10^{-3}$
		1.8186	1.8398	580.3	598.3	1.172	1.168	0.4	$3.889 \times 10^{-3}$	$4.063 \times 10^{-3}$

\*現密度式に比較して大きいケース

表3.2.1 硝酸溶液燃料の臨界計算に対する密度式の効果

(硝酸フルトニウム溶液： $^{239}\text{Pu}$  80% +  $^{240}\text{Pu}$  20%)

燃料濃度 (g/l)	酸性度 (mol/l)	溶液密度 $\rho$ (g/cc)		原子個数比(II/Fissile)		無限増倍率 $K_\infty$			臨界 Buckling $Bc^2$ (cm <sup>-2</sup> )	
		新密度式	現密度式	新密度式	現密度式	新密度式	現密度式	新-現(%)	新密度式	現密度式
10.0	0	1.0115	1.0136	3287.9	3295.0	0.987	0.986	0.1	---	---
30.0		1.0446	1.0467	1087.6	1089.9	1.384	1.383	0.1	$1.262 \times 10^{-3}$	$1.257 \times 10^{-3}$
50.0		1.0778	1.0798	647.4	648.9	1.476	1.474	0.1	$1.591 \times 10^{-3}$	$1.597 \times 10^{-3}$
80.0		1.1270	1.1294	399.7	400.8	1.505	1.506	0.0	$1.728 \times 10^{-3}$	$1.736 \times 10^{-3}$
100.0		1.1598	1.1624	317.2	318.0	1.505	1.506	-0.1	$1.741 \times 10^{-3}$	$1.760 \times 10^{-3}$
120.0		1.1926	1.1953	282.1	282.9	1.500	1.500	0.0	$1.730 \times 10^{-3}$	$1.740 \times 10^{-3}$
150.0		1.2416	1.2447	207.0	207.7	1.488	1.488	0.0	$1.695 \times 10^{-3}$	$1.707 \times 10^{-3}$
200.0		1.3230	1.3270	151.9	152.5	1.466	1.466	0.0	$1.622 \times 10^{-3}$	$1.637 \times 10^{-3}$
300.0		1.4844	1.4909	98.6	97.3	1.431	1.431	0.0	$1.488 \times 10^{-3}$	$1.511 \times 10^{-3}$
500.0		1.8020	1.8167	52.0	53.0.	1.395	1.396	-0.1	$1.313 \times 10^{-2}$	$1.357 \times 10^{-2}$
10.0	3	1.1158	1.1111	3096.6	3080.7	0.942	0.944	-0.2	---	---
30.0		1.1462	1.1412	1020.8	1015.2	1.350	1.351	-0.1	$1.086 \times 10^{-3}$	$1.088 \times 10^{-3}$
50.0		1.1766	1.1714	605.5	602.1	1.447	1.448	-0.1	$1.427 \times 10^{-3}$	$1.414 \times 10^{-3}$
80.0		1.2219	1.2165	371.9	389.7	1.482	1.482	0.0	$1.554 \times 10^{-3}$	$1.538 \times 10^{-3}$
100.0		1.2520	1.2466	294.0	292.2	1.483	1.483	0.0	$1.581 \times 10^{-3}$	$1.543 \times 10^{-3}$
120.0		1.2821	1.2767	242.1	240.6	1.478	1.478	0.0	$1.543 \times 10^{-3}$	$1.526 \times 10^{-3}$
150.0		1.3271	1.3217	190.1	188.9	1.467	1.467	0.0	$1.490 \times 10^{-3}$	$1.481 \times 10^{-3}$
200.0		1.4017	1.3968	138.0	137.2	1.446	1.445	0.1	$1.412 \times 10^{-3}$	$1.398 \times 10^{-3}$
300.0		1.5497	1.5459	85.9	85.5	1.411	1.411	0.0	$1.253 \times 10^{-3}$	$1.243 \times 10^{-3}$
500.0		1.8403	1.8425	43.8	43.9	1.382	1.382	0.0	$1.044 \times 10^{-2}$	$1.050 \times 10^{-2}$
10.0	8	1.2049	1.2085	2854.5	2866.4	0.908	0.908	0.2	---	---
30.0		1.2328	1.2357	937.1	940.8	1.320	1.319	0.1	$8.280 \times 10^{-3}$	$8.332 \times 10^{-3}$
50.0		1.2602	1.2629	553.5	555.4	1.421	1.420	0.1	$1.235 \times 10^{-2}$	$1.242 \times 10^{-2}$
80.0		1.3015	1.3037	337.7	338.7	1.458	1.458	0.0	$1.342 \times 10^{-2}$	$1.348 \times 10^{-2}$
100.0		1.3289	1.3309	265.8	266.5	1.459	1.459	0.0	$1.340 \times 10^{-2}$	$1.346 \times 10^{-2}$
120.0		1.3563	1.3580	217.8	218.3	1.455	1.455	0.0	$1.316 \times 10^{-2}$	$1.321 \times 10^{-2}$
150.0		1.3973	1.3987	169.8	170.1	1.443	1.443	0.0	$1.263 \times 10^{-2}$	$1.443 \times 10^{-2}$
200.0		1.4852	1.4863	121.7	121.9	1.422	1.422	0.0	$1.166 \times 10^{-2}$	$1.170 \times 10^{-2}$
300.0		1.5998	1.6010	73.5	73.8	1.389	1.389	0.0	$9.960 \times 10^{-3}$	$1.000 \times 10^{-2}$
500.0		1.8634	1.8683	34.5	34.8	1.369	1.369	0.0	$7.778 \times 10^{-3}$	$7.880 \times 10^{-3}$

\*現密度式に比較して大きいケース

表3.3.1 硝酸溶液燃料の臨界計算に対する密度式の効果

(Pu/U 混合硝酸溶液: Pu富化度10%,  $^{239}\text{Pu}$  80% +  $^{240}\text{Pu}$  20%, 天然U)

燃料濃度 (g/l)	酸性度 (mol/l)	溶液密度 $\rho$ (g/cc)		原子個数比(H/Fissile)		無限増倍率 $K^\infty$			臨界 Buckling $Bc^2$ (cm <sup>-2</sup> )	
		新密度式	現密度式	新密度式	現密度式	新密度式	現密度式	新-現(%)	新密度式	現密度式
10.0	0	1.0092	1.0141	30412.4	30561.0	0.198	0.197	0.1	---	---
30.0		1.0377	1.0412	10082.7	10118.0	0.484	0.483	0.1	---	---
50.0		1.0662	1.0684	6016.3	6029.8	0.679	0.678	0.1	---	---
80.0		1.1087	1.1091	3728.5	3730.0	0.874	0.874	0.0	---	---
100.0		1.1370	1.1363	2985.8	2983.4	0.965	0.965	0.0	---	---
120.0		1.1652	1.1634	2456.8	2452.4	1.035	1.035	0.0	$1.055 \times 10^{-3}$	$1.077 \times 10^{-3}$
150.0		1.2073	1.2041	1947.8	1941.3	1.113	1.114	-0.1	$3.623 \times 10^{-3}$	$3.520 \times 10^{-3}$
200.0		1.2772	1.2720	1438.2	1430.2	1.200	1.202	-0.2	$6.300 \times 10^{-3}$	$6.280 \times 10^{-3}$
300.0		1.4157	1.4078	927.3	919.0	1.287	1.289	-0.2	$9.390 \times 10^{-3}$	$9.011 \times 10^{-3}$
500.0		1.6673	1.6787	516.2	510.0	1.332	1.333	-0.1	$1.031 \times 10^{-2}$	$1.014 \times 10^{-2}$
10.0	3	1.1144	1.1160	28669.0	28720.0	0.182	0.182	0.0	---	---
30.0		1.1418	1.1421	9490.2	9493.5	0.452	0.452	0.0	---	---
50.0		1.1691*	1.1682	5664.0*	5648.8	0.840	0.840	0.0	---	---
80.0		1.2099*	1.2078	3495.8*	3488.8	0.833	0.833	0.0	---	---
100.0		1.2371*	1.2339	2775.9*	2766.1	0.923	0.924	-0.1	---	---
120.0		1.2842*	1.2602	2298.0*	2285.9	0.994	0.996	-0.2	---	---
150.0		1.3047*	1.2998	1815.8*	1805.8	1.075	1.076	-0.1	$2.211 \times 10^{-3}$	$2.228 \times 10^{-3}$
200.0		1.3718*	1.3660	1334.8*	1326.0	1.164	1.166	-0.2	$4.882 \times 10^{-3}$	$4.876 \times 10^{-3}$
300.0		1.5047*	1.4987	852.7*	846.8	1.256	1.258	0.0	$7.555 \times 10^{-3}$	$7.476 \times 10^{-3}$
500.0		1.7652*	1.7650	463.8	463.8	1.302	1.302	0.0	$8.488 \times 10^{-3}$	$8.485 \times 10^{-3}$
10.0	6	1.2042*	1.2040	28456.0*	28451.0	0.171	0.171	0.0	---	---
30.0		1.2305*	1.2301	8741.2*	8738.1	0.428	0.428	0.0	---	---
50.0		1.2587*	1.2583	5197.8*	5195.8	0.811	0.811	0.0	---	---
80.0		1.2959*	1.2958	3204.1*	3203.2	0.800	0.800	0.0	---	---
100.0		1.3219*	1.3218	2539.3*	2539.1	0.890	0.890	0.0	---	---
120.0		1.3479	1.3481	2085.8	2098.4	0.981	0.981	0.0	---	---
150.0		1.3867	1.3874	1652.2	1653.8	1.042	1.042	0.0	$1.151 \times 10^{-3}$	$1.148 \times 10^{-3}$
200.0		1.4510	1.4531	1208.0	1211.2	1.133	1.131	-0.2	$3.600 \times 10^{-3}$	$3.605 \times 10^{-3}$
300.0		1.5784	1.5848	782.4	788.8	1.225	1.225	0.0	$5.000 \times 10^{-3}$	$5.033 \times 10^{-3}$
500.0		1.6277	1.6481	402.8	416.2	1.270	1.271	-0.1	$6.541 \times 10^{-3}$	$6.591 \times 10^{-3}$

\*現密度式に比較して大きいケース

表3.3.2 硝酸溶液燃料の臨界計算における密度式による比較

(Pu/U混合硝酸溶液: Pu富化度 30%,  $^{239}\text{Pu}$  80% +  $^{240}\text{Pu}$  20%, 天然U)

燃料濃度 (g/l)	酸性度 (mol/l)	溶液密度 $\rho$ (g/cc)		原子個数比(II/Fissile)		無限増倍率 $K_{\infty}$			臨界 Buckling $Bc^2$ (cm <sup>-2</sup> )	
		新密度式	現密度式	新密度式	現密度式	新密度式	現密度式	新-現(%)	新密度式	現密度式
10.0	0	1.0097*	0.9989	10740.4*	10601.0	0.487	0.482	-0.4	---	---
30.0		1.0393*	1.0262	3559.0*	3511.8	0.933	0.939	-0.6	---	---
50.0		1.0888*	1.0556	2122.6*	2093.9	1.142	1.147	-0.5	$4.418 \times 10^{-3}$	$4.472 \times 10^{-3}$
80.0		1.1129*	1.0995	1314.6*	1296.4	1.293	1.298	-0.3	$9.407 \times 10^{-3}$	$9.287 \times 10^{-3}$
100.0		1.1423*	1.1288	1045.1*	1030.5	1.345	1.348	-0.3	$1.125 \times 10^{-2}$	$1.104 \times 10^{-2}$
120.0		1.1716*	1.1581	885.5*	853.3	1.379	1.383	-0.2	$1.244 \times 10^{-2}$	$1.218 \times 10^{-2}$
150.0		1.2156*	1.2021	685.7*	676.0	1.407	1.409	-0.2	$1.349 \times 10^{-2}$	$1.318 \times 10^{-2}$
200.0		1.2885*	1.2752	505.9*	498.7	1.428	1.428	0.0	$1.423 \times 10^{-2}$	$1.387 \times 10^{-2}$
300.0		1.4334*	1.4216	325.7*	321.4	1.421	1.420	-0.1	$1.411 \times 10^{-2}$	$1.378 \times 10^{-2}$
500.0		1.7196*	1.7133	180.7*	179.4	1.374	1.373	0.1	$1.227 \times 10^{-2}$	$1.209 \times 10^{-2}$
10.0	3	1.1147	1.1147	1620.0	10122.0	0.448	0.446	0.0	---	---
30.0		1.1428*	1.1413	3347.8*	3342.5	0.890	0.890	0.0	---	---
50.0		1.1708*	1.1681	1892.7*	1987.0	1.100	1.101	-0.1	$3.007 \times 10^{-3}$	$3.018 \times 10^{-3}$
80.0		1.2128*	1.2087	1230.4*	1225.0	1.258	1.257	-0.1	$7.890 \times 10^{-3}$	$7.867 \times 10^{-3}$
100.0		1.2407*	1.2360	976.2*	971.1	1.312	1.313	-0.1	$9.875 \times 10^{-3}$	$9.810 \times 10^{-3}$
120.0		1.2686*	1.2633	808.7*	802.0	1.347	1.348	-0.1	$1.081 \times 10^{-2}$	$1.072 \times 10^{-2}$
150.0		1.3103*	1.3046	637.2*	633.0	1.378	1.378	0.0	$1.181 \times 10^{-2}$	$1.189 \times 10^{-2}$
200.0		1.3705*	1.3735	467.5*	464.2	1.399	1.399	0.0	$1.284 \times 10^{-2}$	$1.231 \times 10^{-2}$
300.0		1.5172*	1.5124	297.4*	295.8	1.395	1.395	0.0	$1.217 \times 10^{-2}$	$1.204 \times 10^{-2}$
500.0		1.7887	1.7819	180.6	181.3	1.348	1.346	0.0	$1.007 \times 10^{-2}$	$1.016 \times 10^{-2}$
10.0	6	1.2043	1.2051	9339.0	9347.1	0.422	0.422	0.0	---	---
30.0		1.2309	1.2317	3081.3	3084.0	0.858	0.856	0.1	---	---
50.0		1.2575	1.2583	1829.7	1831.5	1.066	1.066	0.0	$1.856 \times 10^{-3}$	$1.852 \times 10^{-3}$
80.0		1.2973	1.2984	1126.5	1127.1	1.225	1.224	0.1	$6.387 \times 10^{-3}$	$6.386 \times 10^{-3}$
100.0		1.3237	1.3252	890.7	892.3	1.281	1.281	0.0	$8.027 \times 10^{-3}$	$8.037 \times 10^{-3}$
120.0		1.3501	1.3520	734.1	735.9	1.318	1.317	0.1	$9.054 \times 10^{-3}$	$9.085 \times 10^{-3}$
150.0		1.3898	1.3923	577.5	579.4	1.349	1.349	0.0	$9.934 \times 10^{-3}$	$9.987 \times 10^{-3}$
200.0		1.4553	1.4698	420.7	423.1	1.371	1.371	0.0	$1.043 \times 10^{-2}$	$1.053 \times 10^{-2}$
300.0		1.5855	1.5945	263.6	266.9	1.368	1.367	-0.1	$9.938 \times 10^{-3}$	$1.017 \times 10^{-2}$
500.0		1.8425	1.8652	137.2	142.1	1.312	1.317	-0.5	$7.670 \times 10^{-3}$	$8.212 \times 10^{-3}$

\*現密度式に比較して大きいケース

表 3.3.3 硝酸溶液燃料の臨界計算に対する密度式の効果

(Pu/U 混合硝酸溶液: Pu 富化度 50%,  $^{239}\text{Pu}$  80% +  $^{240}\text{Pu}$  20%, 天然 U)

燃料濃度 (g/l)	酸性度 (mol/l)	溶液密度 $\rho$ (g/cc)		原子個数比(H/Fissile)		無限増倍率 $K_\infty$			臨界 Buckling $Bc^2$ (cm <sup>-2</sup> )	
		新密度式	現密度式	新密度式	現密度式	新密度式	現密度式	新-現(%)	新密度式	現密度式
10.0	0	1.0102*	0.9928	6520.5*	6405.5	0.877	0.884	-0.7	---	---
30.0		1.0408*	1.0238	2159.8*	2122.3	1.161	1.157	-0.6	$4.898 \times 10^{-3}$	$4.744 \times 10^{-3}$
50.0		1.0713*	1.0548	1287.3*	1285.8	1.319	1.324	-0.5	$1.031 \times 10^{-3}$	$1.012 \times 10^{-3}$
80.0		1.1171*	1.1013	796.8*	783.7	1.417	1.420	-0.3	$1.381 \times 10^{-3}$	$1.348 \times 10^{-3}$
100.0		1.1476*	1.1323	633.0*	623.0	1.444	1.446	-0.1	$1.484 \times 10^{-3}$	$1.444 \times 10^{-3}$
120.0		1.1779*	1.1632	524.0*	515.9	1.487	1.487	0.0	$1.615 \times 10^{-3}$	$1.498 \times 10^{-3}$
150.0		1.2123*	1.2098	414.8*	408.8	1.462	1.462	0.0	$1.687 \times 10^{-3}$	$1.525 \times 10^{-3}$
200.0		1.2991*	1.2869	305.7*	301.7	1.454	1.454	0.0	$1.662 \times 10^{-3}$	$1.513 \times 10^{-3}$
300.0		1.4497*	1.4413	198.3*	194.5	1.423	1.423	0.0	$1.446 \times 10^{-3}$	$1.312 \times 10^{-3}$
500.0		1.7481	1.7489	108.5*	108.8	1.362	1.362	0.0	$1.214 \times 10^{-3}$	$1.217 \times 10^{-3}$
10.0	3	1.1150*	1.1135	8144.3*	8134.0	0.837	0.838	-0.1	---	---
30.0		1.1438*	1.1409	2030.2*	2023.9	1.109	1.110	-0.1	$3.279 \times 10^{-3}$	$3.291 \times 10^{-3}$
50.0		1.1725*	1.1688	1207.3*	1202.2	1.283	1.284	-0.1	$8.756 \times 10^{-3}$	$8.716 \times 10^{-3}$
80.0		1.2156*	1.2108	744.4*	740.4	1.387	1.387	0.0	$1.219 \times 10^{-3}$	$1.209 \times 10^{-3}$
100.0		1.2441*	1.2388	580.1*	586.8	1.415	1.418	-0.1	$1.317 \times 10^{-3}$	$1.304 \times 10^{-3}$
120.0		1.2727*	1.2671	487.1*	484.1	1.430	1.430	0.0	$1.386 \times 10^{-3}$	$1.361 \times 10^{-3}$
150.0		1.3156*	1.3098	384.2*	381.7	1.438	1.438	0.0	$1.388 \times 10^{-3}$	$1.372 \times 10^{-3}$
200.0		1.3867*	1.3813	281.2*	279.5	1.430	1.430	0.0	$1.363 \times 10^{-3}$	$1.347 \times 10^{-3}$
300.0		1.5282*	1.5263	178.0*	177.4	1.398	1.398	-0.1	$1.239 \times 10^{-3}$	$1.230 \times 10^{-3}$
500.0		1.8084*	1.8148	95.1	96.0	1.337	1.338	-0.1	$8.808 \times 10^{-3}$	$8.878 \times 10^{-3}$
10.0	6	1.2045	1.2081	5867.2	5877.9	0.807	0.808	0.1	---	---
30.0		1.2314	1.2331	1867.2	1870.8	1.074	1.074	0.0	$2.083 \times 10^{-3}$	$2.085 \times 10^{-3}$
50.0		1.2583	1.2601	1107.2	1109.4	1.251	1.251	0.0	$7.210 \times 10^{-3}$	$7.226 \times 10^{-3}$
80.0		1.2986	1.3007	679.5	681.3	1.358	1.358	0.0	$1.037 \times 10^{-3}$	$1.041 \times 10^{-3}$
100.0		1.3264	1.3279	537.0	538.8	1.388	1.388	0.0	$1.124 \times 10^{-3}$	$1.128 \times 10^{-3}$
120.0		1.3522	1.3561	441.8	443.5	1.403	1.403	0.0	$1.184 \times 10^{-3}$	$1.171 \times 10^{-3}$
150.0		1.3923	1.3980	348.8	348.5	1.409	1.410	-0.1	$1.177 \times 10^{-3}$	$1.187 \times 10^{-3}$
200.0		1.4588	1.4643	251.7	253.5	1.403	1.403	0.0	$1.139 \times 10^{-3}$	$1.164 \times 10^{-3}$
300.0		1.6913	1.6913	168.3	168.5	1.370	1.382	0.8	$1.001 \times 10^{-3}$	$1.028 \times 10^{-3}$
500.0		1.6533	1.6769	79.7	82.7	1.308	1.310	-0.4	$7.351 \times 10^{-3}$	$7.870 \times 10^{-3}$

\*現密度式に比較して大きいケース

表 3.3.4 硝酸溶液燃料の臨界計算に対する密度式の効果

(Pu/U混合硝酸溶液: Pu富化度 80%,  $^{239}\text{Pu}$  80% +  $^{240}\text{Pu}$  20%, 天然U)

燃料濃度 (g/l)	酸性度 (mol/l)	溶液密度 $\rho$ (g/cc)		原子個数比(H/Fissile)		無限増倍率 $K_\infty$			臨界 Buckling $Bc^2$ (cm $^{-2}$ )	
		新密度式	現密度式	新密度式	現密度式	新密度式	現密度式	新-現(%)	新密度式	現密度式
10.0	0	1.0110*	1.0015	4101.6*	4062.2	0.886	0.890	-0.4	---	---
30.0		1.0431*	1.0341	1357.4*	1345.0	1.319	1.321	-0.2	$1.029 \times 10^{-2}$	$1.018 \times 10^{-2}$
50.0		1.0751*	1.0667	808.6*	801.8	1.435	1.437	-0.2	$1.443 \times 10^{-2}$	$1.424 \times 10^{-2}$
80.0		1.1231*	1.1156	499.7*	495.8	1.486	1.486	0.0	$1.642 \times 10^{-2}$	$1.619 \times 10^{-2}$
100.0		1.1550*	1.1482	398.7*	393.9	1.491	1.491	0.0	$1.678 \times 10^{-2}$	$1.656 \times 10^{-2}$
120.0		1.1869*	1.1807	328.1*	326.0	1.489	1.489	0.0	$1.682 \times 10^{-2}$	$1.661 \times 10^{-2}$
150.0		1.2346*	1.2295	259.4*	258.0	1.180	1.180	0.0	$1.659 \times 10^{-2}$	$1.641 \times 10^{-2}$
200.0		1.3139*	1.3106	190.7*	190.0	1.459	1.459	0.0	$1.682 \times 10^{-2}$	$1.658 \times 10^{-2}$
300.0		1.4716*	1.4726	121.8	122.0	1.419	1.419	0.0	$1.448 \times 10^{-2}$	$1.452 \times 10^{-2}$
500.0		1.7833	1.7948	68.4	67.4.	1.368	1.367	-0.1	$1.231 \times 10^{-2}$	$1.285 \times 10^{-2}$
10.0	3	1.1156*	1.1119	3863.8*	3848.9	0.842	0.843	-0.1	---	---
30.0		1.1453*	1.1409	1274.9*	1268.8	1.282	1.283	-0.1	$8.742 \times 10^{-3}$	$8.690 \times 10^{-3}$
50.0		1.1750*	1.1701	757.0*	753.0	1.405	1.406	-0.1	$1.282 \times 10^{-2}$	$1.271 \times 10^{-2}$
80.0		1.2194*	1.2141	485.7*	463.0	1.459	1.459	0.0	$1.472 \times 10^{-2}$	$1.457 \times 10^{-2}$
100.0		1.2490*	1.2436	368.6*	366.3	1.487	1.487	0.0	$1.502 \times 10^{-2}$	$1.485 \times 10^{-2}$
120.0		1.2786*	1.2730	303.8*	302.0	1.468	1.468	0.0	$1.600 \times 10^{-2}$	$1.483 \times 10^{-2}$
150.0		1.3227*	1.3175	239.0*	237.6	1.468	1.467	-0.1	$1.489 \times 10^{-2}$	$1.462 \times 10^{-2}$
200.0		1.3982*	1.3916	174.2*	173.3	1.437	1.436	-0.1	$1.380 \times 10^{-2}$	$1.375 \times 10^{-2}$
300.0		1.6421*	1.5403	109.2*	109.0	1.397	1.398	-0.1	$1.224 \times 10^{-2}$	$1.218 \times 10^{-2}$
500.0		1.8305	1.8372	58.8	57.5	1.346	1.347	-0.1	$9.803 \times 10^{-3}$	$9.981 \times 10^{-3}$
10.0	6	1.2047	1.2078	3562.4	3574.3	0.808	0.807	-0.1	---	---
30.0		1.2321	1.2348	1171.2	1174.9	1.250	1.250	0.0	$7.209 \times 10^{-3}$	$7.230 \times 10^{-3}$
50.0		1.2695	1.2621	692.9	695.1	1.377	1.377	0.0	$1.100 \times 10^{-2}$	$1.105 \times 10^{-2}$
80.0		1.3004	1.3030	423.8	425.2	1.433	1.433	0.0	$1.268 \times 10^{-2}$	$1.276 \times 10^{-2}$
100.0		1.3277	1.3304	334.1	335.3	1.442	1.442	0.0	$1.289 \times 10^{-2}$	$1.287 \times 10^{-2}$
120.0		1.3548	1.3578	274.3	275.3	1.441	1.441	0.0	$1.280 \times 10^{-2}$	$1.289 \times 10^{-2}$
150.0		1.3956	1.3988	214.4	215.2	1.432	1.433	-0.1	$1.241 \times 10^{-2}$	$1.251 \times 10^{-2}$
200.0		1.4631	1.4673	154.6	165.4	1.411	1.412	-0.1	$1.162 \times 10^{-2}$	$1.166 \times 10^{-2}$
300.0		1.5974	1.6043	94.5	95.5	1.371	1.372	-0.1	$8.753 \times 10^{-3}$	$8.848 \times 10^{-3}$
500.0		1.8623	1.8777	46.1	47.5	1.324	1.325	-0.1	$7.277 \times 10^{-3}$	$7.609 \times 10^{-3}$

\*現密度式に比較して大きいケース

表3.3.5 硝酸溶液燃料の臨界計算に対する密度式の効果

(Pu/U 混合硝酸溶液：燃料濃度 100 g/l,  $^{239}\text{Pu}$  80 % +  $^{240}\text{Pu}$  20 %, 天然U)

Pu富化度 (%)	酸性度 (mol/l)	溶液密度 $\rho$ (g/cc)		原子個数比(H/Fissile)		無限増倍率 $K_{\infty}$			臨界 Buckling $B_c^2$ (cm <sup>-2</sup> )	
		新密度式	現密度式	新密度式	現密度式	新密度式	現密度式	新-現(%)	新密度式	現密度式
0.0	0	1.1342	1.1468	36107.3	36562.0	0.103	0.102	0.1	---	---
10.0		1.1370*	1.1363	2965.8*	2963.4	0.985	0.985	0.0	---	---
20.0		1.1397*	1.1308	1546.5*	1532.2	1.228	1.230	-0.2	$7.140 \times 10^{-3}$	$7.178 \times 10^{-3}$
30.0		1.1423*	1.1286	1045.1*	1030.5	1.345	1.348	-0.3	$1.124 \times 10^{-2}$	$1.105 \times 10^{-2}$
40.0		1.1449*	1.1295	788.8*	786.2	1.408	1.410	-0.2	$1.348 \times 10^{-2}$	$1.314 \times 10^{-2}$
50.0		1.1475*	1.1323	633.0*	623.0	1.444	1.445	-0.1	$1.484 \times 10^{-2}$	$1.444 \times 10^{-2}$
60.0		1.1501*	1.1365	528.4*	521.0	1.468	1.487	-0.1	$1.573 \times 10^{-2}$	$1.533 \times 10^{-2}$
70.0		1.1526*	1.1419	453.3*	448.3	1.481	1.481	0.0	$1.634 \times 10^{-2}$	$1.601 \times 10^{-2}$
80.0		1.1550*	1.1482	396.7*	393.9	1.493	1.491	0.2	$1.687 \times 10^{-2}$	$1.658 \times 10^{-2}$
90.0		1.1575*	1.1550	352.8*	351.7	1.499	1.499	0.0	$1.712 \times 10^{-2}$	$1.704 \times 10^{-2}$
100.0		1.1598	1.1624	317.2	318.0	1.505	1.506	-0.1	$1.741 \times 10^{-2}$	$1.760 \times 10^{-2}$
0.0	3	1.2352*	1.2336	32896.0*	32838.0	0.095	0.095	0.0	---	---
10.0		1.2371*	1.2339	2776.9*	2766.1	0.923	0.924	-0.1	---	---
20.0		1.2389*	1.2348	1446.1*	1439.5	1.190	1.181	-0.1	$5.762 \times 10^{-3}$	$5.747 \times 10^{-3}$
30.0		1.2407*	1.2360	976.2*	971.1	1.312	1.313	-0.1	$9.406 \times 10^{-3}$	$9.601 \times 10^{-3}$
40.0		1.2424*	1.2373	738.0*	731.8	1.377	1.378	-0.1	$1.185 \times 10^{-2}$	$1.176 \times 10^{-2}$
50.0		1.2441*	1.2388	580.1*	586.8	1.415	1.418	-0.1	$1.317 \times 10^{-2}$	$1.304 \times 10^{-2}$
60.0		1.2458*	1.2403	482.0*	489.0	1.440	1.440	0.0	$1.402 \times 10^{-2}$	$1.387 \times 10^{-2}$
70.0		1.2474*	1.2419	421.8*	419.0	1.468	1.456	0.0	$1.480 \times 10^{-2}$	$1.444 \times 10^{-2}$
80.0		1.2490*	1.2435	388.6*	386.3	1.487	1.487	0.0	$1.502 \times 10^{-2}$	$1.486 \times 10^{-2}$
90.0		1.2505*	1.2451	327.2*	325.3	1.478	1.478	0.0	$1.634 \times 10^{-2}$	$1.617 \times 10^{-2}$
100.0		1.2520*	1.2468	294.0*	292.2	1.483	1.483	0.0	$1.681 \times 10^{-2}$	$1.643 \times 10^{-2}$
0.0	8	1.3209*	1.3205	30129.0*	30115.0	0.089	0.089	0.0	---	---
10.0		1.3219*	1.3218	2539.3*	2539.1	0.890	0.890	0.0	---	---
20.0		1.3228	1.3238	1321.1	1322.3	1.157	1.157	0.0	$4.400 \times 10^{-3}$	$4.412 \times 10^{-3}$
30.0		1.3237	1.3252	890.7	892.3	1.281	1.281	0.0	$8.026 \times 10^{-3}$	$8.045 \times 10^{-3}$
40.0		1.3246	1.3266	670.8	672.3	1.348	1.348	0.0	$1.003 \times 10^{-2}$	$1.008 \times 10^{-2}$
50.0		1.3254	1.3279	537.0	538.8	1.388	1.388	0.0	$1.124 \times 10^{-2}$	$1.129 \times 10^{-2}$
60.0		1.3264	1.3289	447.2	448.7	1.413	1.413	0.0	$1.201 \times 10^{-2}$	$1.208 \times 10^{-2}$
70.0		1.3289	1.3298	382.7	384.0	1.430	1.430	0.0	$1.253 \times 10^{-2}$	$1.261 \times 10^{-2}$
80.0		1.3277	1.3304	334.1	335.3	1.442	1.442	0.0	$1.288 \times 10^{-2}$	$1.297 \times 10^{-2}$
90.0		1.3283	1.3308	298.2	297.1	1.462	1.461	0.1	$1.318 \times 10^{-2}$	$1.324 \times 10^{-2}$
100.0		1.3289	1.3309	265.8	266.5	1.459	1.458	0.0	$1.340 \times 10^{-2}$	$1.348 \times 10^{-2}$

\*現密度式に比較して大きいケース

表 3.3.6 硝酸溶液燃料の臨界計算に対する密度式の効果

(Pu/U 混合硝酸溶液：燃料濃度 300 g/l,  $^{239}\text{Pu}$  80 % +  $^{240}\text{Pu}$  20 %, 天然 U)

Pu富化度 (%)	酸性度 (mol/l)	溶液密度 $\rho$ (g/cc)		原子個数比(H/Fissile)		無限増倍率 $K_\infty$			臨界 Buckling $B_c^2$ (cm <sup>-2</sup> )	
		新密度式	現密度式	新密度式	現密度式	新密度式	現密度式	新-現(%)	新密度式	現密度式
0.0	0	1.4063*	1.4062	10989.7*	10988.0	0.254	0.254	0.0	---	---
10.0		1.4157*	1.4078	927.3*	919.0	1.288	1.289	-0.1	$9.117 \times 10^{-3}$	$9.010 \times 10^{-3}$
20.0		1.4247*	1.4134	482.8*	476.8	1.397	1.397	0.0	$1.308 \times 10^{-2}$	$1.277 \times 10^{-2}$
30.0		1.4334*	1.4215	326.7*	321.4	1.421	1.420	0.1	$1.411 \times 10^{-2}$	$1.378 \times 10^{-2}$
40.0		1.4418*	1.4310	245.2*	242.3	1.425	1.424	0.1	$1.441 \times 10^{-2}$	$1.407 \times 10^{-2}$
50.0		1.4497*	1.4413	196.3*	194.5	1.423	1.422	0.1	$1.448 \times 10^{-2}$	$1.419 \times 10^{-2}$
60.0		1.4574*	1.4519	163.4*	162.4	1.420	1.419	0.1	$1.445 \times 10^{-2}$	$1.427 \times 10^{-2}$
70.0		1.4646*	1.4624	139.7*	139.4	1.418	1.418	0.0	$1.444 \times 10^{-2}$	$1.437 \times 10^{-2}$
80.0		1.4716	1.4726	121.8	122.0	1.420	1.419	0.1	$1.465 \times 10^{-2}$	$1.452 \times 10^{-2}$
90.0		1.4781	1.4821	107.8	106.3	1.422	1.422	0.0	$1.460 \times 10^{-2}$	$1.474 \times 10^{-2}$
100.0		1.4844	1.4909	96.5	97.3	1.431	1.431	0.0	$1.488 \times 10^{-2}$	$1.511 \times 10^{-2}$
0.0	3	1.4979*	1.4931	10139.0*	10080.0	0.238	0.239	-0.1	---	---
10.0		1.5047*	1.4987	856.7*	846.8	1.258	1.258	0.0	$7.548 \times 10^{-3}$	$7.476 \times 10^{-3}$
20.0		1.5111*	1.5056	442.5*	439.5	1.370	1.370	0.0	$1.124 \times 10^{-2}$	$1.111 \times 10^{-2}$
30.0		1.5172*	1.5124	297.4*	286.8	1.395	1.395	0.0	$1.217 \times 10^{-2}$	$1.204 \times 10^{-2}$
40.0		1.5229*	1.5191	223.2*	222.2	1.400	1.399	0.1	$1.239 \times 10^{-2}$	$1.228 \times 10^{-2}$
50.0		1.5282*	1.5253	178.0*	177.4	1.398	1.398	0.0	$1.238 \times 10^{-2}$	$1.230 \times 10^{-2}$
60.0		1.5332*	1.5310	147.6*	147.2	1.398	1.398	0.0	$1.231 \times 10^{-2}$	$1.225 \times 10^{-2}$
70.0		1.5378*	1.5360	126.7*	126.5	1.395	1.395	0.0	$1.226 \times 10^{-2}$	$1.221 \times 10^{-2}$
80.0		1.5421*	1.5403	109.2*	109.0	1.397	1.398	0.1	$1.224 \times 10^{-2}$	$1.219 \times 10^{-2}$
90.0		1.5461*	1.5436	96.3*	96.0	1.401	1.401	0.0	$1.231 \times 10^{-2}$	$1.224 \times 10^{-2}$
100.0		1.5497*	1.5459	85.9	85.5	1.411	1.411	0.0	$1.253 \times 10^{-2}$	$1.243 \times 10^{-2}$
0.0	6	1.5742	1.5800	8103.8	8172.8	0.226	0.225	0.1	---	---
10.0		1.5784	1.5848	782.4	784.8	1.225	1.225	0.0	$5.986 \times 10^{-3}$	$6.028 \times 10^{-3}$
20.0		1.5821	1.5889	393.9	398.1	1.340	1.340	0.0	$9.185 \times 10^{-3}$	$9.356 \times 10^{-3}$
30.0		1.5855	1.5945	263.8	266.9	1.368	1.367	-0.1	$9.938 \times 10^{-3}$	$1.017 \times 10^{-2}$
40.0		1.5888	1.5983	196.9	199.6	1.371	1.372	-0.1	$1.007 \times 10^{-2}$	$1.033 \times 10^{-2}$
50.0		1.5913	1.6013	158.3	158.5	1.370	1.371	-0.1	$1.001 \times 10^{-2}$	$1.028 \times 10^{-2}$
60.0		1.5937	1.6033	129.0	130.8	1.368	1.370	-0.2	$8.897 \times 10^{-3}$	$1.016 \times 10^{-2}$
70.0		1.5957	1.6043	109.3	110.7	1.368	1.370	-0.2	$8.801 \times 10^{-3}$	$1.004 \times 10^{-2}$
80.0		1.5974	1.6043	94.5	95.5	1.371	1.372	-0.1	$8.763 \times 10^{-3}$	$8.945 \times 10^{-3}$
90.0		1.5987	1.6032	82.8	83.4	1.376	1.377	-0.1	$8.778 \times 10^{-3}$	$8.907 \times 10^{-3}$
100.0		1.5996	1.6010	73.5	73.6	1.389	1.389	0.0	$8.980 \times 10^{-3}$	$1.000 \times 10^{-2}$

\*現密度式に比較して大きいケース

表 3.3.7 研磨絶縁燃料の臨界計算に対する密度式の効果

(Pu/U 混合硝酸溶液 : 燃料濃度 500 μg / 1,  $^{239}\text{Pu}$  80 % +  $^{240}\text{Pu}$  20 %, 天然 U)

Pu富化度 (%)	酸性度 (mol/l)	溶液密度		原子個数比(H/Fissile)		無限増殖率 $K_{\infty}$		臨界 Buckling $Bc^2$ (cm <sup>-2</sup> )		現密度式 新密度式	現密度式 新密度式	現密度式 新密度式
		新密度式	現密度式	新密度式	現密度式	無限増殖率 $K_{\infty}$	臨界度式	新密度式	現密度式			
0	0.0	1.6697*	1.6696	6103.1*	6073.5	0.362	0.363	-0.1	-0.1	1.032x10 <sup>-3</sup>	1.014x10 <sup>-3</sup>	---
	10.0	1.6873*	1.6787	516.2*	510.0	1.332	1.333	-0.1	-0.1	1.209x10 <sup>-3</sup>	1.186x10 <sup>-3</sup>	1.186x10 <sup>-3</sup>
	20.0	1.7040*	1.6954	288.2*	265.5	1.376	1.375	-0.1	-0.1	1.227x10 <sup>-3</sup>	1.227x10 <sup>-3</sup>	1.209x10 <sup>-3</sup>
	30.0	1.7196*	1.7133	180.7*	179.4	1.374	1.373	-0.1	-0.1	1.236x10 <sup>-3</sup>	1.236x10 <sup>-3</sup>	1.212x10 <sup>-3</sup>
	40.0	1.7343*	1.7333	135.8*	135.4	1.367	1.367	-0.0	-0.0	1.241x10 <sup>-3</sup>	1.241x10 <sup>-3</sup>	1.217x10 <sup>-3</sup>
	50.0	1.7481	1.7489	108.5	108.6	1.362	1.362	-0.0	-0.0	1.246x10 <sup>-3</sup>	1.246x10 <sup>-3</sup>	1.227x10 <sup>-3</sup>
	60.0	1.7608	1.7656	90.0	90.5	1.360	1.361	-0.1	-0.1	1.252x10 <sup>-3</sup>	1.252x10 <sup>-3</sup>	1.242x10 <sup>-3</sup>
	70.0	1.7726	1.7810	76.8	77.4	1.361	1.362	-0.1	-0.1	1.257x10 <sup>-3</sup>	1.257x10 <sup>-3</sup>	1.242x10 <sup>-3</sup>
	80.0	1.7833	1.7948	66.4	67.4	1.366	1.387	-0.1	-0.1	1.263x10 <sup>-3</sup>	1.265x10 <sup>-3</sup>	1.258x10 <sup>-3</sup>
	90.0	1.7931	1.8087	58.4	59.5	1.376	1.377	-0.1	-0.1	1.268x10 <sup>-3</sup>	1.298x10 <sup>-3</sup>	1.298x10 <sup>-3</sup>
0	100.0	1.8020	1.8167	52.0	53.0	1.395	1.398	-0.1	-0.1	1.313x10 <sup>-2</sup>	1.357x10 <sup>-2</sup>	1.357x10 <sup>-2</sup>
	0.0	1.7619	1.7625	5524.8	5523.0	0.343	0.343	0.0	0.0	8.408x10 <sup>-3</sup>	8.408x10 <sup>-3</sup>	8.408x10 <sup>-3</sup>
	10.0	1.7652*	1.7650	483.6	463.6	1.302	1.302	0.0	0.0	9.932x10 <sup>-3</sup>	1.003x10 <sup>-2</sup>	1.003x10 <sup>-2</sup>
	20.0	1.7774	1.7788	239.9	240.3	1.347	1.347	0.0	0.0	1.008x10 <sup>-2</sup>	1.016x10 <sup>-2</sup>	1.016x10 <sup>-2</sup>
	30.0	1.7887	1.7919	160.6	161.3	1.346	1.346	0.0	0.0	9.882x10 <sup>-3</sup>	1.007x10 <sup>-2</sup>	1.007x10 <sup>-2</sup>
	40.0	1.7980	1.8040	119.9	120.7	1.340	1.341	-0.1	-0.1	9.805x10 <sup>-3</sup>	9.978x10 <sup>-3</sup>	9.978x10 <sup>-3</sup>
	50.0	1.8084	1.8148	95.1	96.0	1.337	1.338	-0.1	-0.1	9.744x10 <sup>-3</sup>	9.829x10 <sup>-3</sup>	9.829x10 <sup>-3</sup>
	60.0	1.8167	1.8240	78.3	79.1	1.338	1.337	-0.1	-0.1	9.704x10 <sup>-3</sup>	9.927x10 <sup>-3</sup>	9.927x10 <sup>-3</sup>
	70.0	1.8241	1.8316	66.1	66.8	1.338	1.340	-0.1	-0.1	9.863x10 <sup>-3</sup>	9.981x10 <sup>-3</sup>	9.981x10 <sup>-3</sup>
	80.0	1.8305	1.8372	58.9	57.5	1.346	1.347	-0.1	-0.1	9.897x10 <sup>-3</sup>	1.013x10 <sup>-2</sup>	1.013x10 <sup>-2</sup>
3	90.0	1.8359	1.8409	49.7	50.1	1.358	1.359	-0.0	-0.0	1.044x10 <sup>-2</sup>	1.060x10 <sup>-2</sup>	1.060x10 <sup>-2</sup>
	100.0	1.8403	1.8425	43.7	43.9	1.392	1.392	-0.0	-0.0	1.044x10 <sup>-2</sup>	1.060x10 <sup>-2</sup>	1.060x10 <sup>-2</sup>
6	0.0	1.8188	1.8394	4835.6	4884.6	0.329	0.325	-0.4	-0.4	8.512x10 <sup>-3</sup>	8.891x10 <sup>-3</sup>	8.891x10 <sup>-3</sup>
	10.0	1.8277	1.8461	402.8	415.2	1.270	1.271	-0.1	-0.1	7.884x10 <sup>-3</sup>	8.196x10 <sup>-3</sup>	8.196x10 <sup>-3</sup>
	20.0	1.8356	1.8573	208.6	213.6	1.313	1.318	-0.3	-0.3	6.211x10 <sup>-3</sup>	6.414x10 <sup>-3</sup>	6.414x10 <sup>-3</sup>
	30.0	1.8426	1.8652	137.2	142.1	1.312	1.317	-0.5	-0.5	7.689x10 <sup>-3</sup>	8.498x10 <sup>-3</sup>	8.498x10 <sup>-3</sup>
	40.0	1.8484	1.8714	101.5	105.3	1.308	1.312	-0.4	-0.4	7.300x10 <sup>-3</sup>	7.670x10 <sup>-3</sup>	7.670x10 <sup>-3</sup>
	50.0	1.8633	1.8769	79.7	82.7	1.306	1.310	-0.4	-0.4	7.281x10 <sup>-3</sup>	7.738x10 <sup>-3</sup>	7.738x10 <sup>-3</sup>
	60.0	1.8673	1.8886	64.3	67.3	1.308	1.311	-0.3	-0.3	7.227x10 <sup>-3</sup>	7.609x10 <sup>-3</sup>	7.609x10 <sup>-3</sup>
	70.0	1.8803	1.8919	54.1	56.1	1.314	1.318	-0.2	-0.2	7.227x10 <sup>-3</sup>	7.448x10 <sup>-3</sup>	7.448x10 <sup>-3</sup>
	80.0	1.8823	1.8977	48.1	47.5	1.324	1.326	-0.1	-0.1	7.227x10 <sup>-3</sup>	7.770x10 <sup>-3</sup>	7.770x10 <sup>-3</sup>
	90.0	1.8833	1.8974	39.7	40.6	1.340	1.341	-0.1	-0.1	7.227x10 <sup>-3</sup>	7.882x10 <sup>-3</sup>	7.882x10 <sup>-3</sup>
100.0	1.8834	1.8963	34.6	34.9	1.389	1.389	0.0	0.0	7.227x10 <sup>-3</sup>	7.770x10 <sup>-3</sup>	7.770x10 <sup>-3</sup>	

\*現密度式に比較して大きいケース

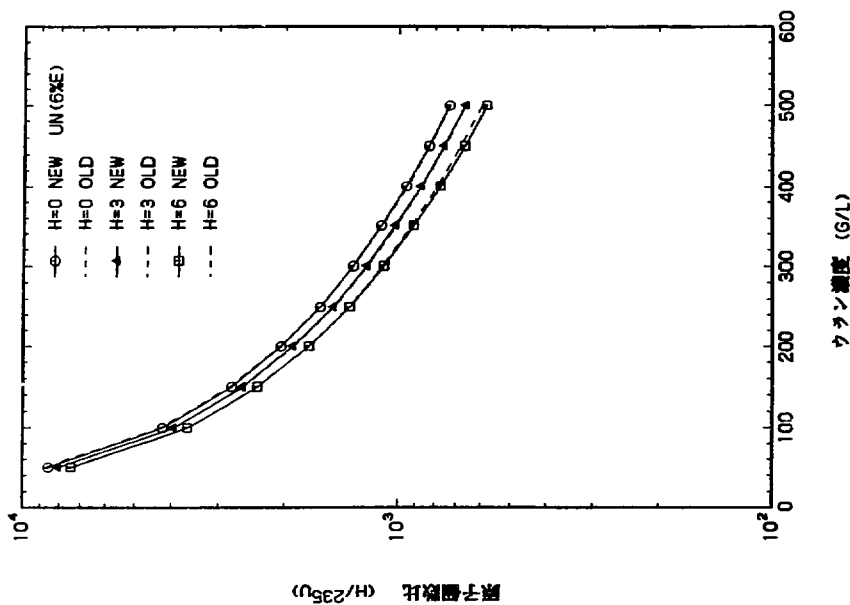


図 3.1.2 硝酸ウラニル水溶液の原子・個数比

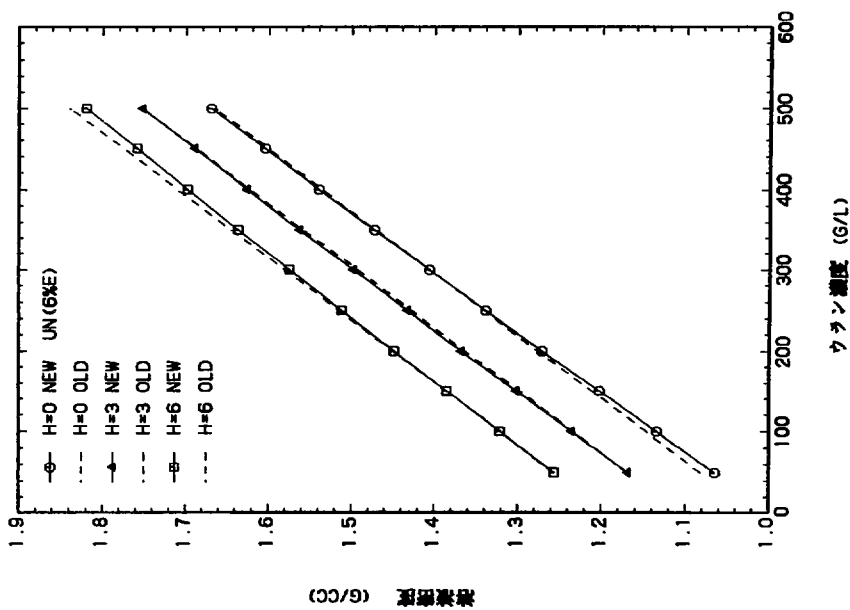


図 3.1.1 硝酸ウラニル水溶液の密度

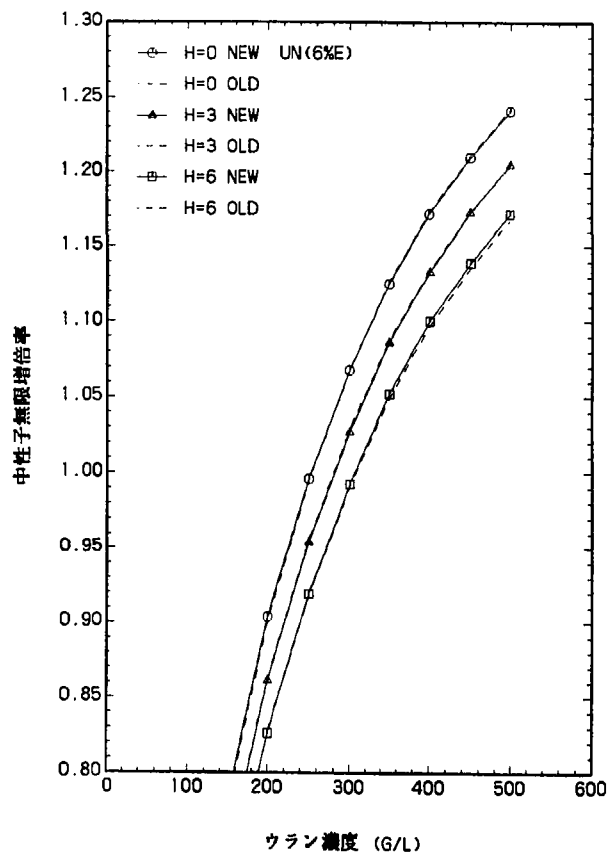


図 3.1.3 硝酸ウラニル水溶液の中性子無限増倍率

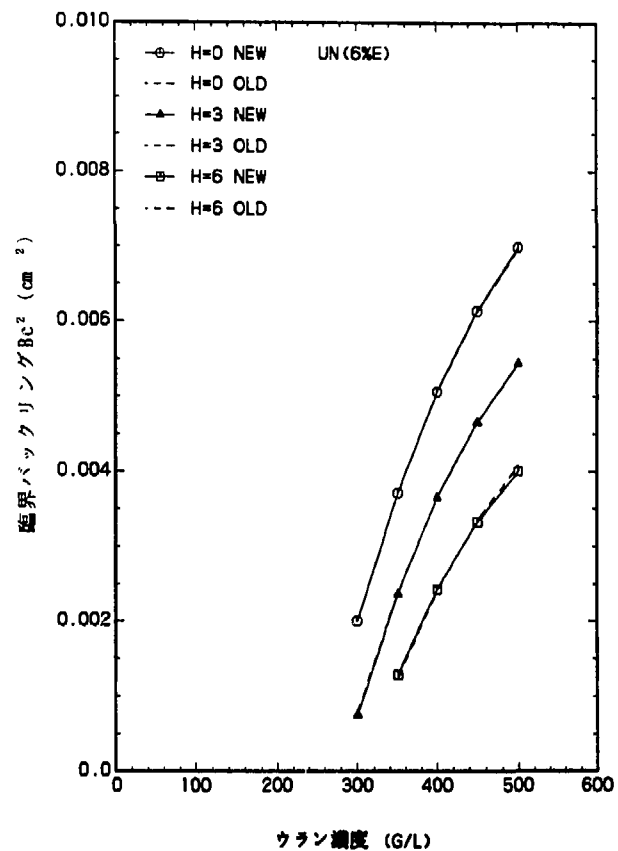


図 3.1.4 硝酸ウラニル水溶液の臨界バックリング

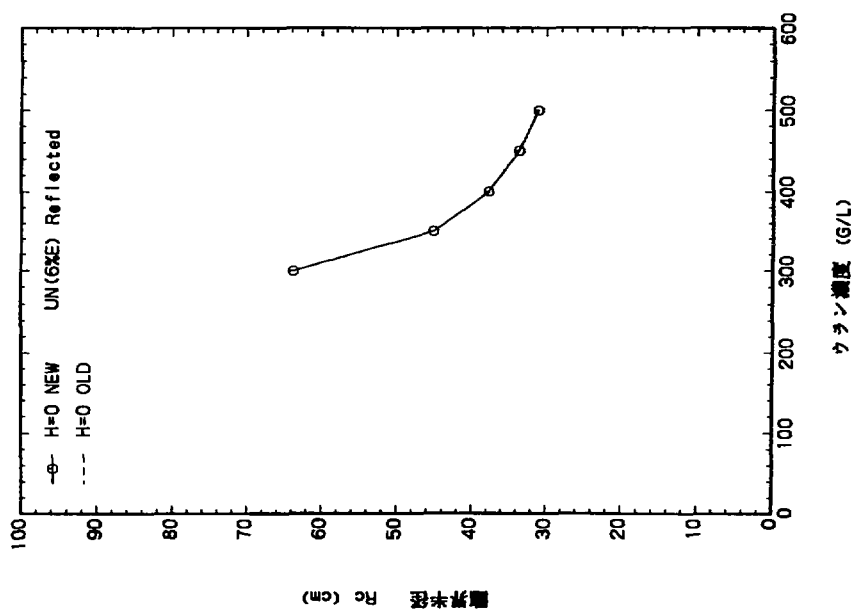


図 3.1.5 球体系の臨界半径（硝酸ウラニル水溶液）

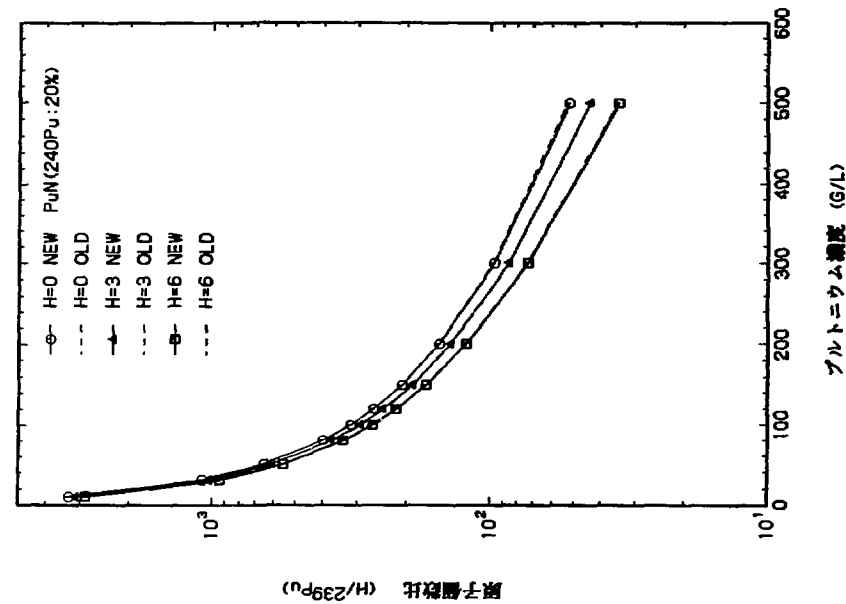


図3.2.2 硝酸フルトニウム水溶液の原子個数比

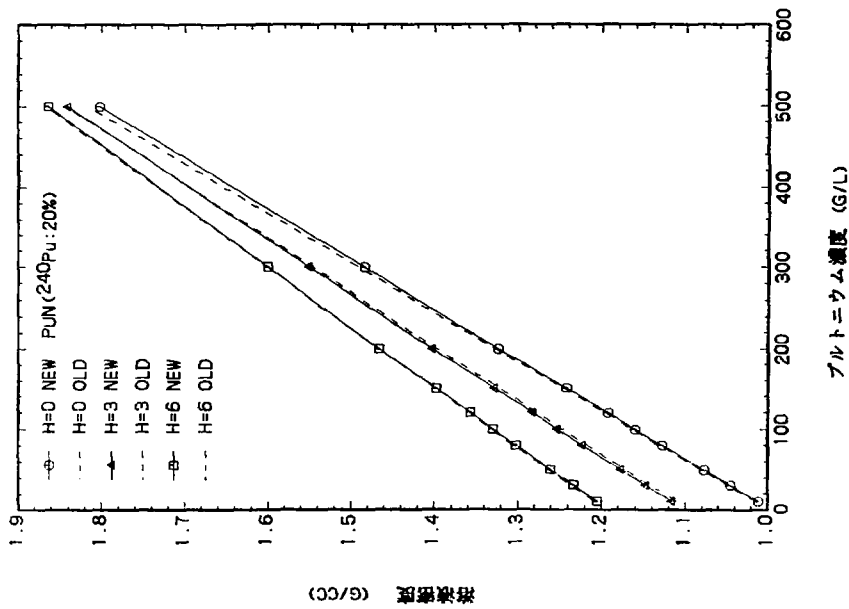


図3.2.1 硝酸フルトニウム水溶液の密度

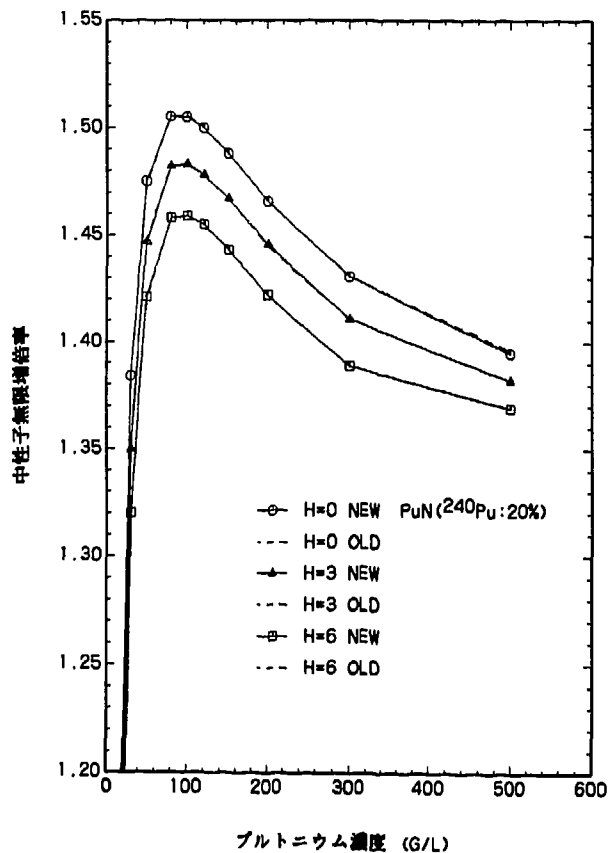


図 3.2.3 硝酸フルトニウム水溶液の中性子無限増倍率

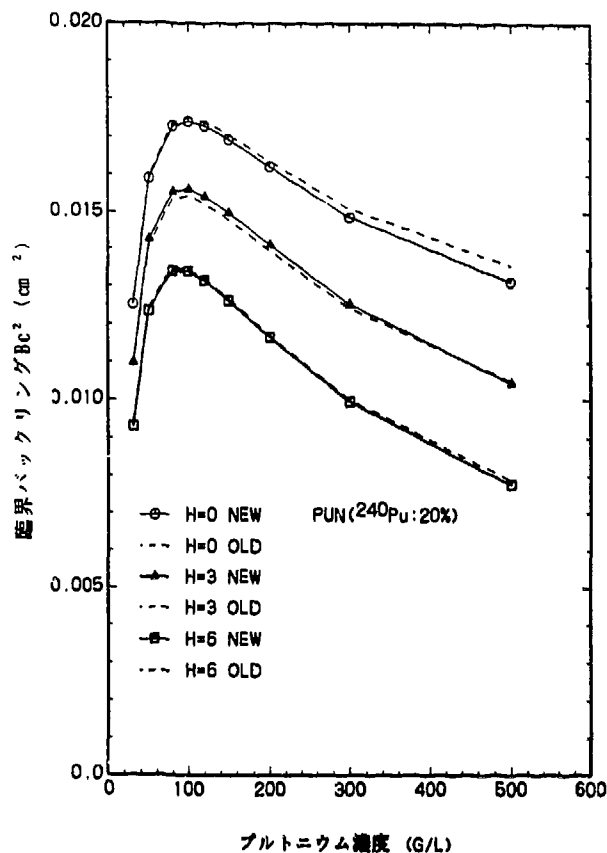


図 3.2.4 硝酸フルトニウムの臨界バックリング

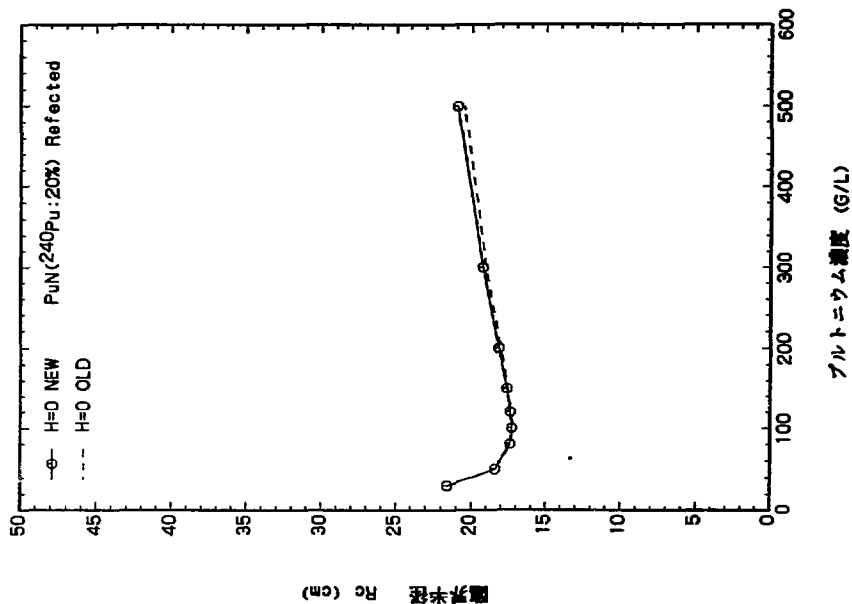


図 3.2.5 球体系の臨界半径（研機プルトニウム水浴液）

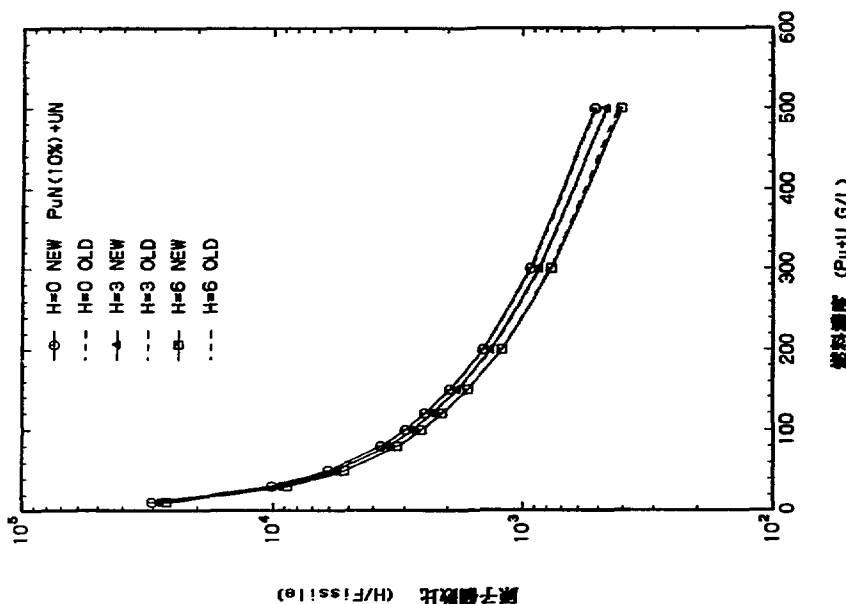


図3.3.2 混合硝酸水溶液の原子個数比

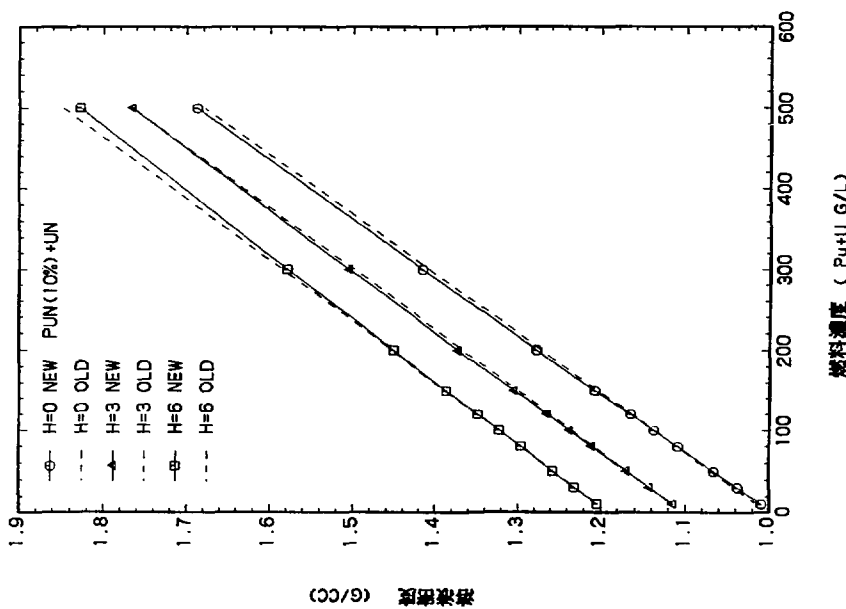
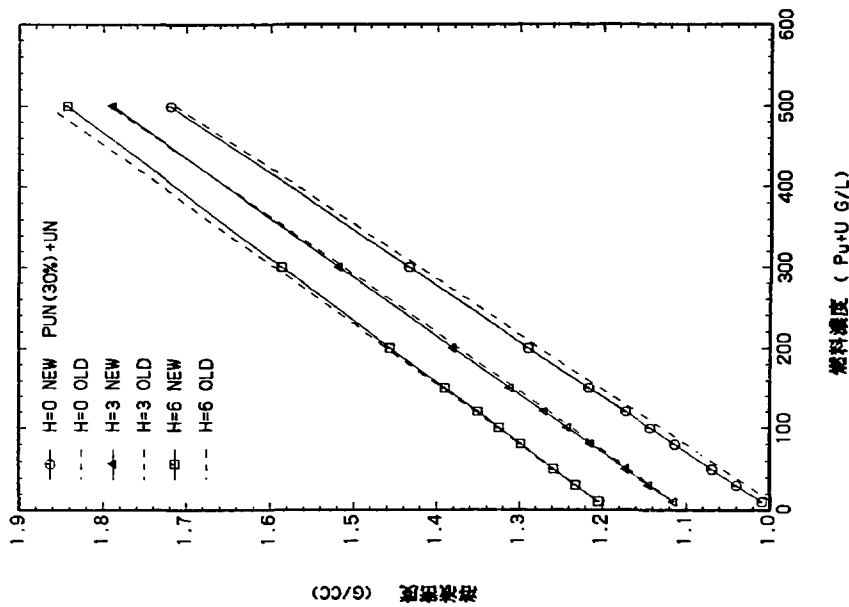
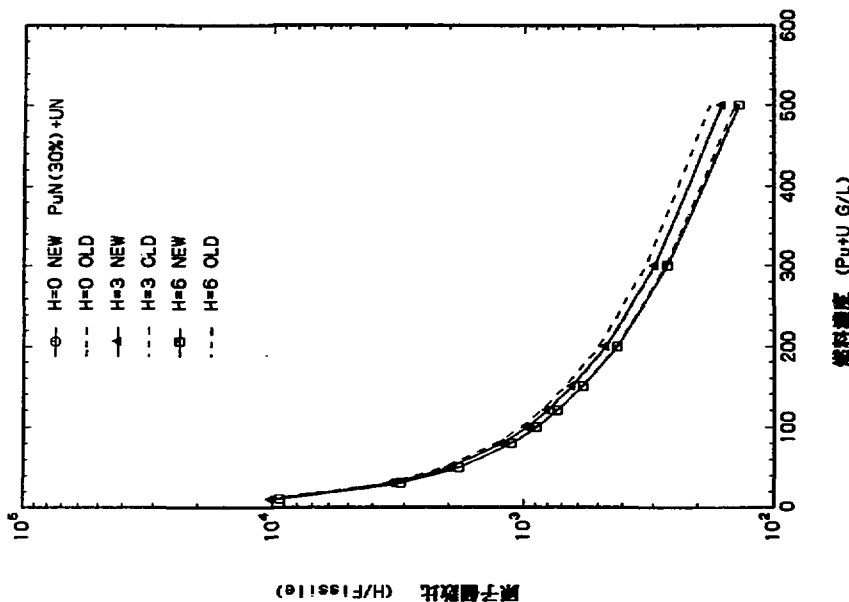


図3.3.1 混合硝酸水溶液の密度



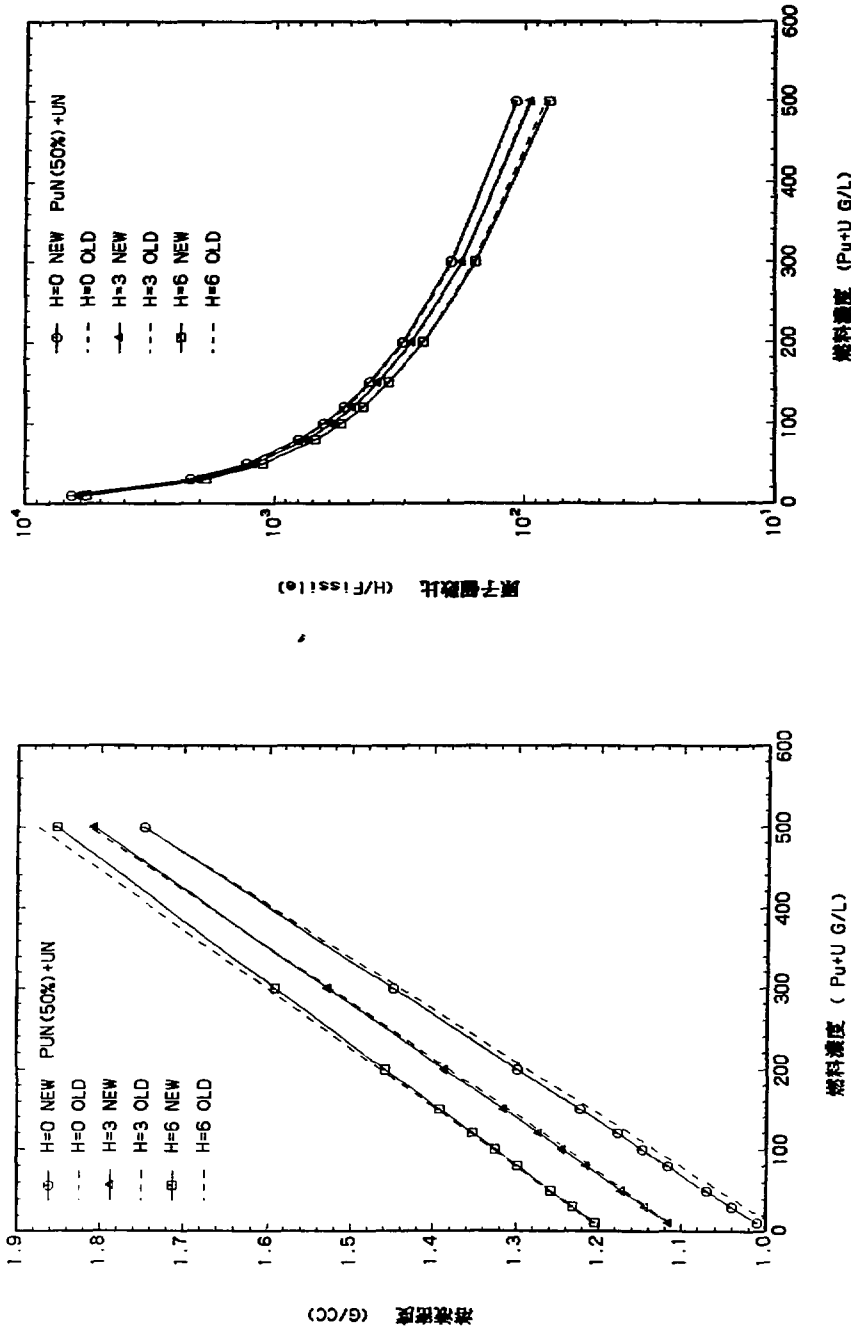


図 3.3.5 混合硝酸水溶液の濃度

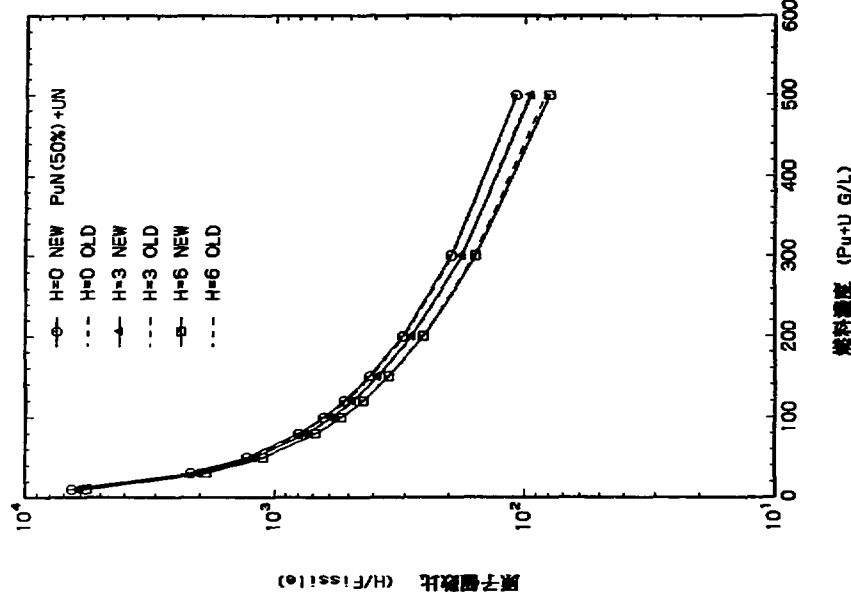


図 3.3.6 混合硝酸水溶液の濃度

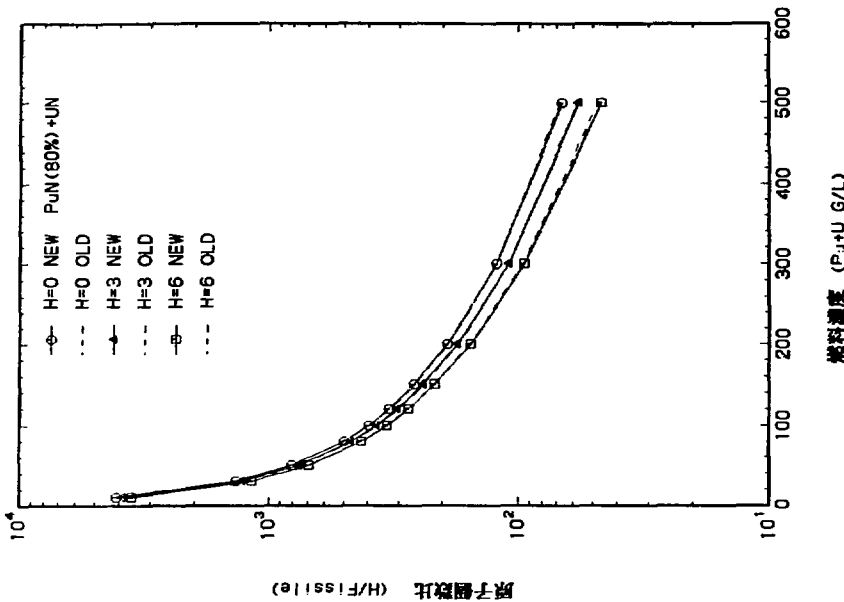


図 3.3.8 混合硝酸水溶液の原子個数比

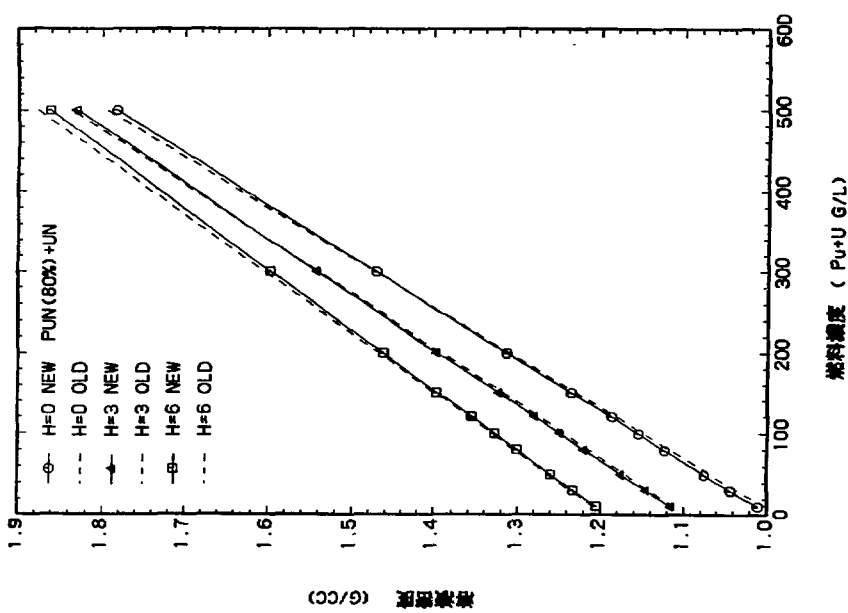


図 3.3.7 混合硝酸水溶液の活性度

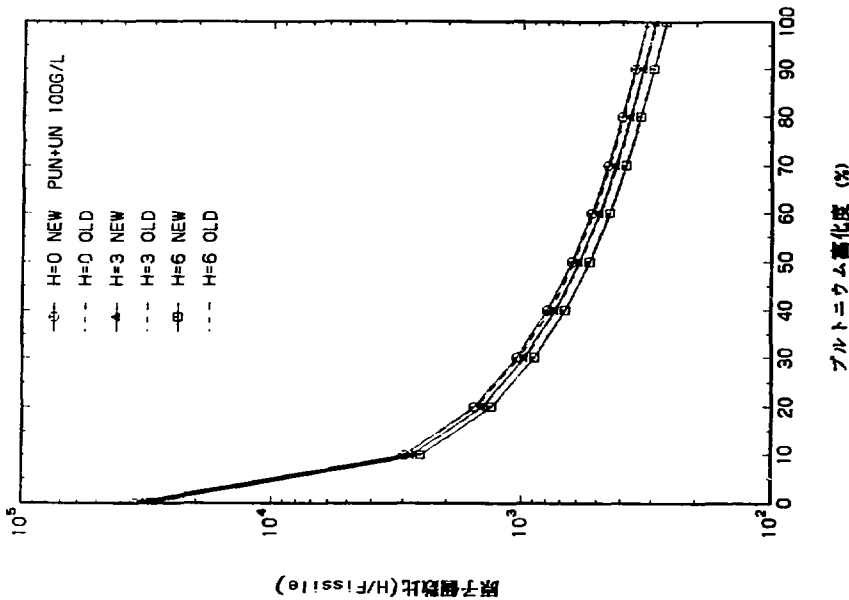


図 3.3.9 混合硝酸水溶液の密度

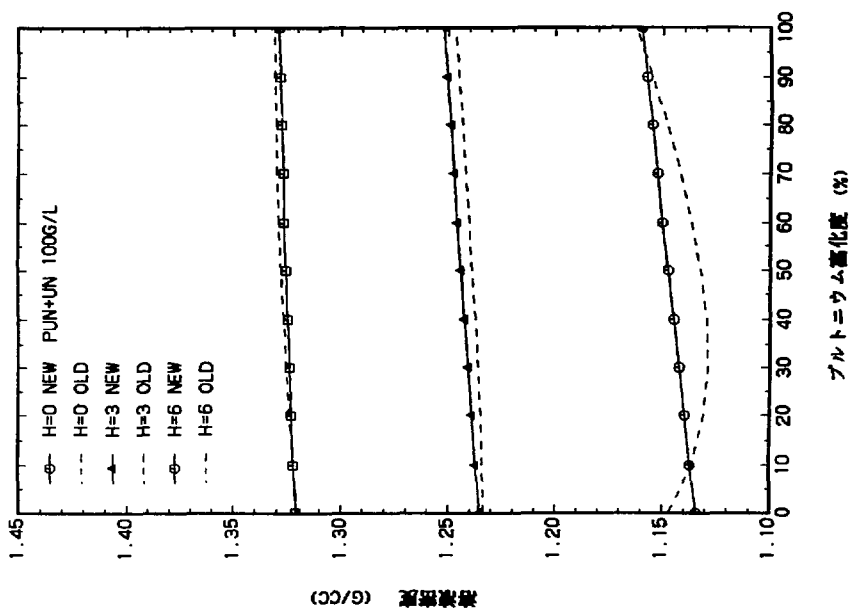


図 3.3.10 混合硝酸水溶液の原子個数比

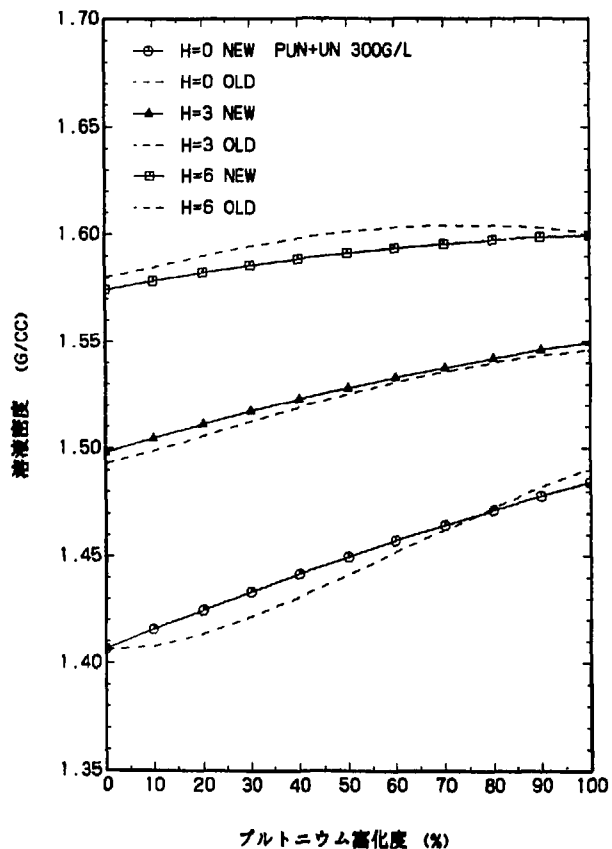


図 3.3.11 混合硝酸水溶液の密度

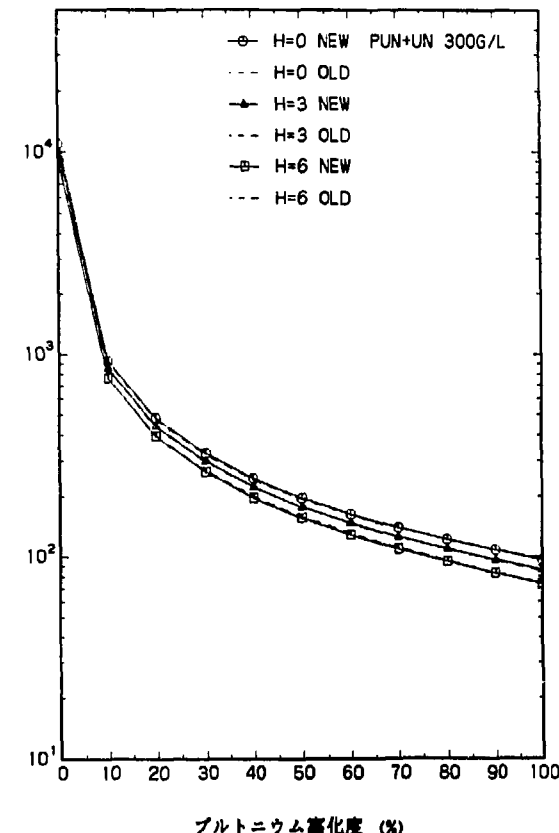


図 3.3.12 混合硝酸水溶液の原子個数比

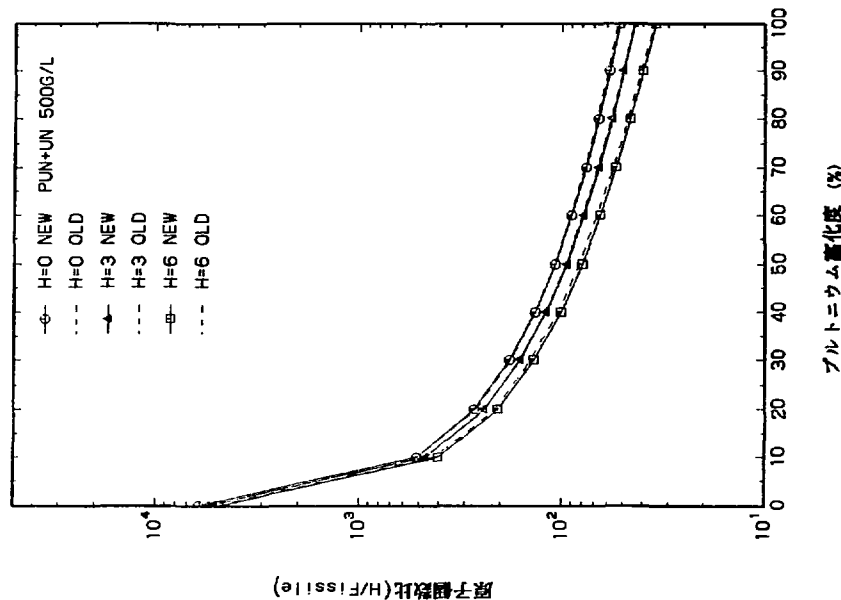


図 3.3.14 混合硝酸水溶液の原子個数比

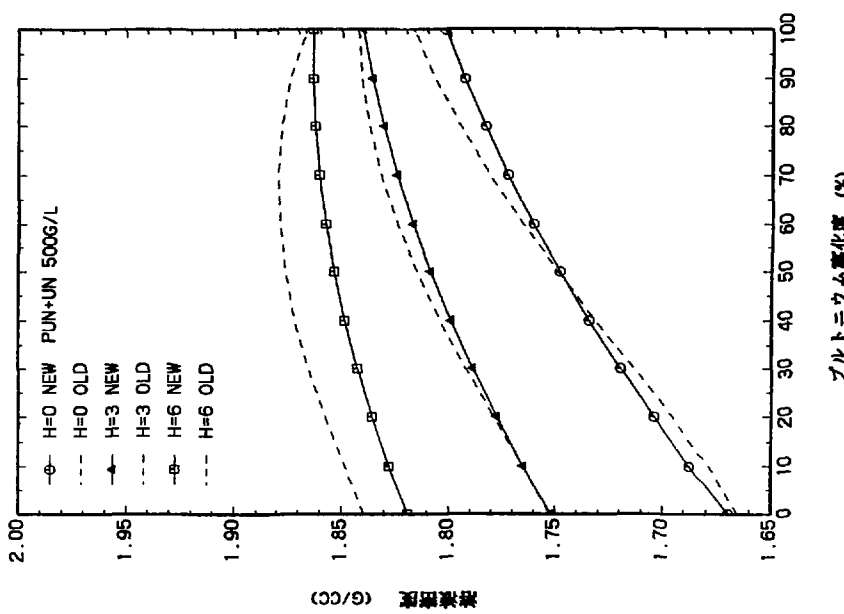


図 3.3.13 混合硝酸水溶液の密度

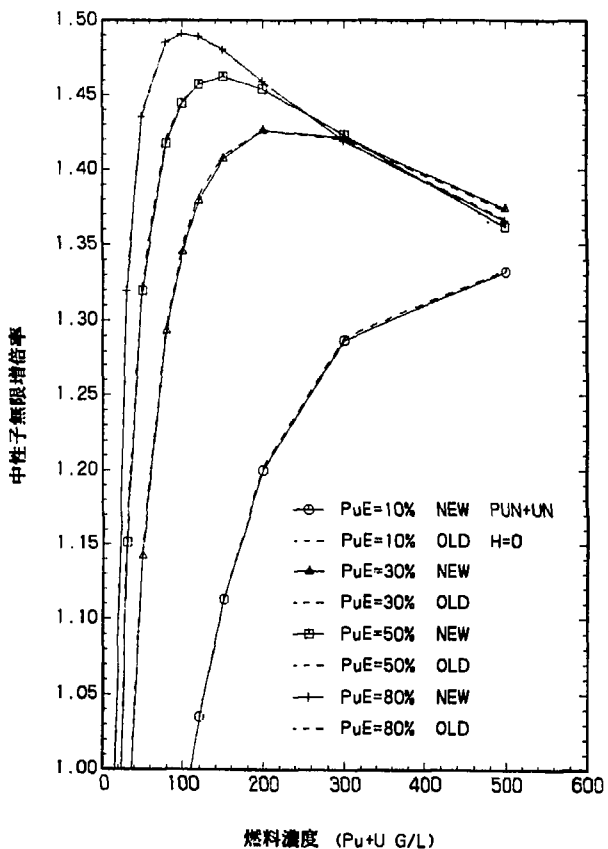


図 3.3.15 混合硝酸水溶液の中性子無限倍率

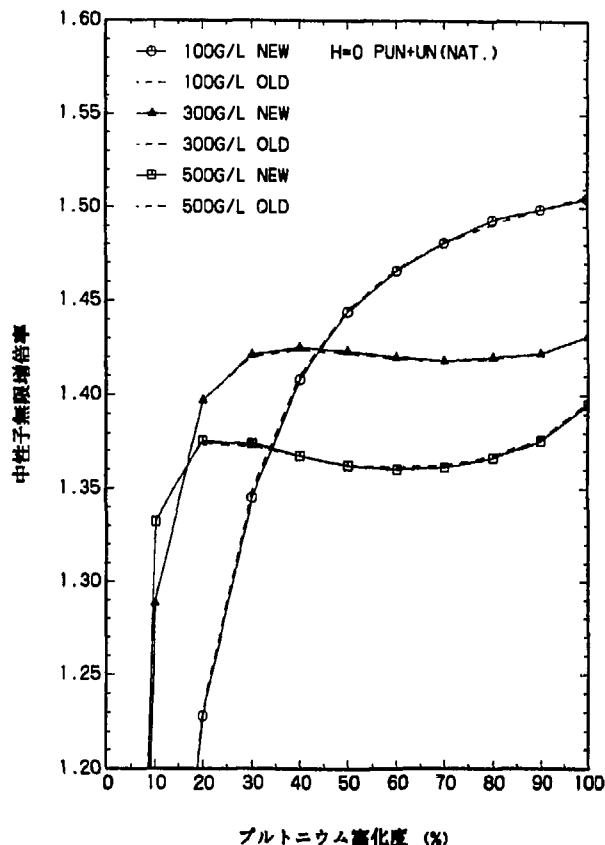


図 3.3.16 混合硝酸水溶液の中性子無限倍率

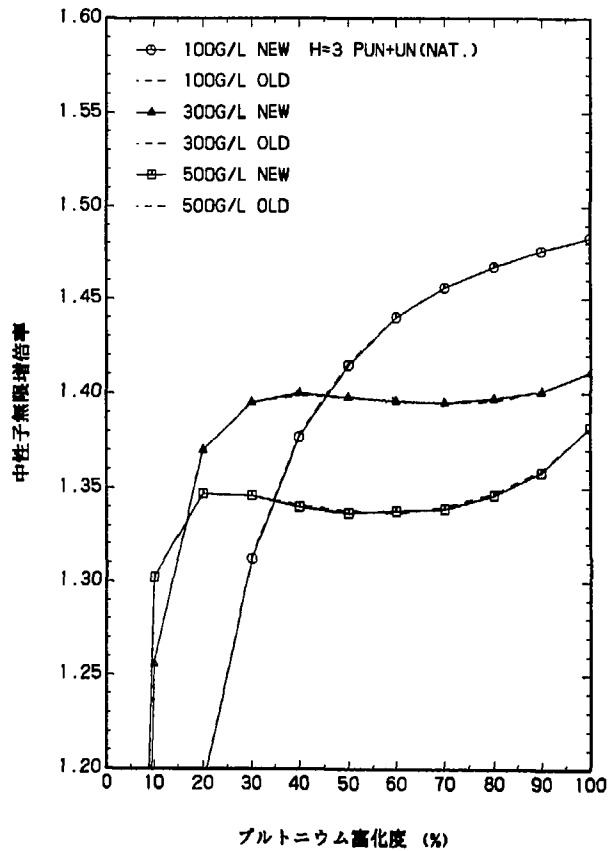


図 3.3.17 混合硝酸水溶液の中性子無限増倍率

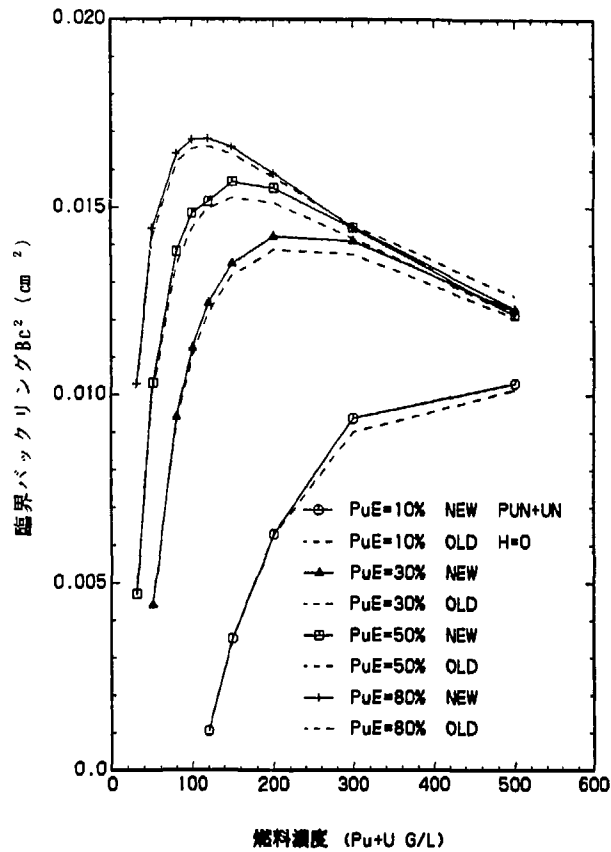


図 3.3.18 混合硝酸水溶液の臨界バックリング

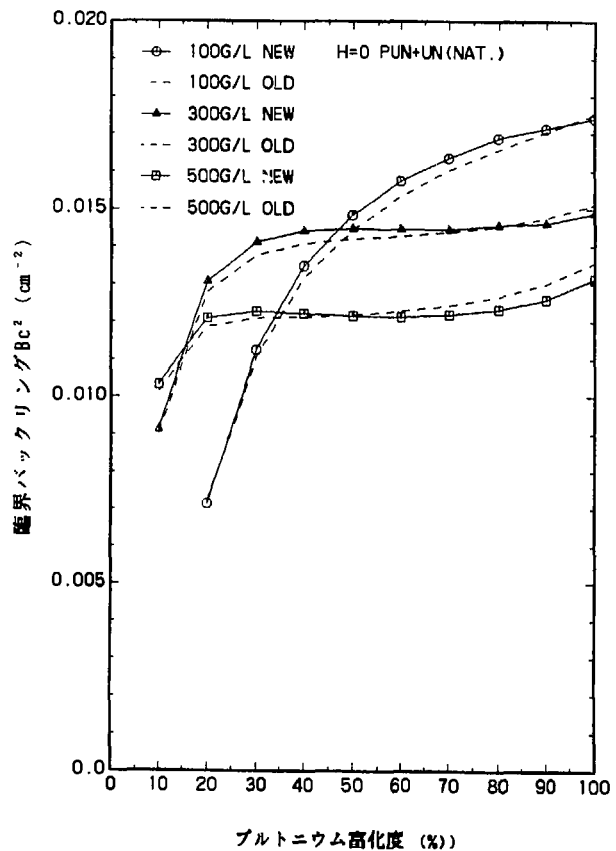


図 3.3.19 混合硝酸水溶液の臨界バッククリング

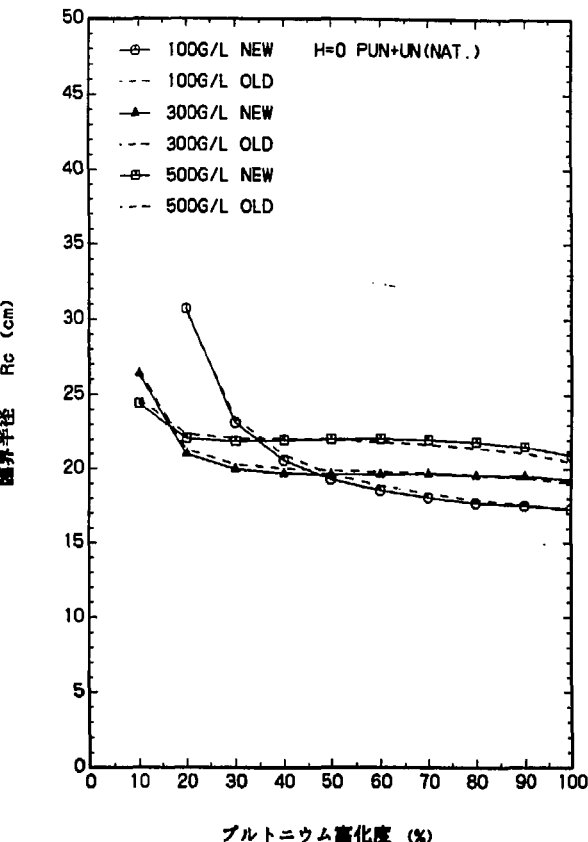


図 3.3.20 球体系の臨界半径(U/Pu 混合硝酸水溶液)

# 国際単位系(SI)と換算表

表1 SI基本単位および補助単位

量	名称	記号
長さ	メートル	m
質量	キログラム	kg
時間	秒	s
電流	アンペア	A
熱力学温度	ケルビン	K
物質量	モル	mol
光强度	カンデラ	cd
平面角	ラジアン	rad
立体角	ステラジアン	sr

表3 固有の名称をもつSI組立単位

量	名称	記号	他のSI単位による表現
周波数	ヘルツ	Hz	s <sup>-1</sup>
力	ニュートン	N	m·kg/s <sup>2</sup>
圧力、応力	パスカル	Pa	N/m <sup>2</sup>
エネルギー、仕事、熱量	ジュール	J	N·m
功率、放射束	ワット	W	J/s
電気量、電荷	クーロン	C	A·s
電位、電圧、起電力	ボルト	V	W/A
静電容量	ファラード	F	C/V
電気抵抗	オーム	Ω	V/A
コンダクタンス	シーメンス	S	A/V
磁束密度	ウェーバ	Wb	V·s
磁束密度	テスラ	T	Wb/m <sup>2</sup>
インダクタンス	ヘンリー	H	Wb/A
セルシウス温度	セルシウス度	°C	
光照度	ルーメン	lm	cd·sr
放熱能	ルクス	lx	lm/m <sup>2</sup>
吸収線量	ベクレル	Bq	s <sup>-1</sup>
線量当量	グレイ	Gy	J/kg
	シーベルト	Sv	J/kg

表2 SIと併用される単位

名称	記号
分、時、日	min, h, d
度、分、秒	°, ', "
リットル	L, L
トン	t
電子ボルト	eV
原子質量単位	u

$$1\text{eV}=1.60218 \times 10^{-19}\text{J}$$

$$1\text{u}=1.66054 \times 10^{-27}\text{kg}$$

表5 SI接頭語

倍数	接頭語	記号
$10^{18}$	エクサ	E
$10^{15}$	ペタ	P
$10^{12}$	テラ	T
$10^9$	ギガ	G
$10^6$	メガ	M
$10^3$	キロ	k
$10^2$	ヘクト	h
$10^1$	デカ	da
$10^{-1}$	デシ	d
$10^{-2}$	センチ	c
$10^{-3}$	ミリ	m
$10^{-6}$	マイクロ	μ
$10^{-9}$	ナノ	n
$10^{-12}$	ピコ	p
$10^{-15}$	フェムト	f
$10^{-18}$	アatto	a

(注)

- 表1～5は「国際単位系」第5版、国際度量衡局1985年刊行による。ただし、1eVおよび1uの値はCODATAの1986年推奨値によった。
- 表4には海里、ノット、アール、ヘクタールも含まれているが日常の単位なのでここでは省略した。
- barは、JISでは液体の圧力を表わす場合に限り表2のカテゴリに分類されている。
- EC開発理事会指令ではbar、barnおよび「血圧の単位」mmHgを表2のカテゴリに入れている。

表4 SIと共に暫定的に維持される単位

名称	記号
オングストローム	Å
バーアン	b
バルル	bar
ガル	Gal
キュリー	Ci
レンントゲン	R
ラド	rad
レム	rem

## 換算表

力	MPa(=10 bar)	kgf/cm <sup>2</sup>	atm	mmHg(Torr)	lbf/in <sup>2</sup> (psi)
1	10.1972	0.224809	9.86923	$7.50062 \times 10^4$	145.038
9.80665	1	2.20462	0.967841	735.559	14.2233
4.4822	0.453592	1	760	14.6959	
1.33322 × 10 <sup>-4</sup>	1.35951 × 10 <sup>-3</sup>	1.31579 × 10 <sup>-1</sup>	1	1.93368 × 10 <sup>-2</sup>	
6.89476 × 10 <sup>-3</sup>	7.03070 × 10 <sup>-2</sup>	6.80460 × 10 <sup>-2</sup>	51.7149	1	

力	N(=10 <sup>3</sup> dyn)	kgf	lbf
1	0.101972	0.224809	
9.80665	1	2.20462	
4.4822	0.453592	1	

$$\text{粘度 } 1\text{ Pa}\cdot\text{s} = 10^3\text{ N}\cdot\text{s}/\text{m}^2 = 10\text{ P(ボアズ)}(\text{g}/\text{cm}\cdot\text{s})$$

$$\text{動粘度 } 1\text{ m}^2/\text{s} = 10^6\text{ St(ストークス)(cm}^2/\text{s)}$$

エネルギー・仕事・熱量	J(=10 <sup>3</sup> erg)	kgf·m	kW·h	cal(計算法)	Btu	ft · lbf	eV	1 cal = 4.18605 J(計算法)
1	0.101972	2.77778 × 10 <sup>-7</sup>	0.238889	9.47813 × 10 <sup>-4</sup>	0.737562	6.24150 × 10 <sup>18</sup>	= 4.184 J(熱化学)	
9.80665	1	2.72407 × 10 <sup>-6</sup>	2.34270	9.29487 × 10 <sup>-3</sup>	7.23301	6.12082 × 10 <sup>19</sup>	= 4.1855 J(15 °C)	
3.6 × 10 <sup>4</sup>	3.67098 × 10 <sup>5</sup>	1	8.59999 × 10 <sup>3</sup>	3412.13	2.65522 × 10 <sup>4</sup>	2.24694 × 10 <sup>21</sup>	= 4.1868 J(国際蒸気表)	
4.18605	0.426658	1.16279 × 10 <sup>-6</sup>	1	3.96759 × 10 <sup>-3</sup>	3.08747	2.61272 × 10 <sup>19</sup>	仕事率 1 PS(仏馬力)	
1055.06	107.586	2.93072 × 10 <sup>-4</sup>	252.042	1	778.172	6.58515 × 10 <sup>21</sup>	= 75 kgf·m/s	
1.35582	0.138255	3.76616 × 10 <sup>-7</sup>	0.323890	1.28506 × 10 <sup>-3</sup>	1	8.46233 × 10 <sup>18</sup>	= 735.499 W	
1.60218 × 10 <sup>-19</sup>	1.63377 × 10 <sup>-20</sup>	4.45050 × 10 <sup>-20</sup>	3.82743 × 10 <sup>-20</sup>	1.51857 × 10 <sup>-22</sup>	1.18171 × 10 <sup>-19</sup>	1		

放射能	Bq	Ci	吸収線量	Gy	rad
1	2.70270 × 10 <sup>-11</sup>		1	100	
3.7 × 10 <sup>10</sup>	1		0.01	1	

照射線量	C/kg	R
1	3876	1

線量当量	Sv	rem
1	100	
0.01	1	